ENVIRONMENTAL SCIENCE

第 45 卷 第 3 期 2024 年 3 月 15 日

目 次

| 中国省域差异化碳达峰评价方法与应用 ···································· | |
|--|--|
| 1 H H M 201 18 M P 1 1 1 1 7 1 1 1 1 1 1 1 1 1 1 1 1 1 1 | 233) |
| 今.比.会周期知角下由国建筑端址前穴间关联网络演化·及影响因妻.分析 | 2/3) |
| 全生命周期视角下中国建筑碳排放空间关联网络演化及影响因素分析任晓松,李昭睿(12京津冀地区城市三生空间碳代谢效率特征及演进模式 | 243) |
| 京津異地区城市二 生 全间嫉代姻效举符征及演进模式 12 12 12 12 12 12 12 12 12 12 12 12 12 | 254) |
| 太原市"十四五"规划大气污染防治政策的 CO ₂ 协同效益评估 ·············肖婷玉,束韫,李慧,王涵,李俊宏,严沁,张文杰,姜华(12 | 265) |
| 湖南省工业领域碳减排与空气质量改善协同 ************************************ | 274) |
| 一個 | 285) |
| 从账。自乐上刊出自电力门业工区对江林件账即任 小前,彻明,加明,自小,应前,才初,许大风,代示法(12 为用于小李大胆,也是一次要求的第三人称: | 202) |
| 郑州市公父年队电动化减污降嫉坏境效益 | 293) |
| 长江中游城市群城市化对 PM,、浓度的多尺度驱动机制 ···································· | 304) |
| 天山北坡城市群 PM., 浓度时空分布特征及影响因素分析 ···································· | 315) |
| 王津市 DM 配组公公间关导析 B 本酒飯杯 | 228) |
| 人任中 $\Pi_{2,5}$ WE出力工門左升任及不係所列 | 320) |
| 贵阳市花溪城区大气PM _{2.5} 中碳质气溶胶的变化特征及米源解析 ···································· | 337) |
| 新乡市大气PM _{2.5} 中水溶性离子的污染特征、来源解析及气象影响分析 | |
| ····································· | 3/10) |
| 2017~2018年冬季菏泽大气 PM, 5中金属元素特征及健康风险评估 ··················杜虹萱,任丽红,赵明升,韩慧霞,徐义生(13 | |
| | |
| 北京市臭氧污染跳变型特征及影响因素分析潘锦秀,安欣欣,刘保献,李云婷,李倩,孙峰,张章,邱启鸿,陈阳(13 | 371) |
| 南京夏季大气臭氧光化学特征与敏感性分析 ···················罗丽彤,章炎麟,林煜棋, Ahsan Mozaffar,曹梦瑶 (13 | 382) |
| 苏州市初夏臭氧污染成因及年际变化吴也正,张鑫,顾钧,缪青,魏恒,熊宇,杨倩,吴斌,沈文渊,马强(13 | |
| グロール | 102) |
| 长江中游典型湖泊沉积物重金属分布特征、生态风险评估及溯源卢洪斌,卢少勇,李响,张森霖,黄张根(14 | 402) |
| 基于 PCA-APCS-MLR 模型的乌梁素海表层沉积物重金属时空分布及来源解析 | |
| | 415) |
| 重庆市长寿湖水库表层水体重金属时空分布及风险评价张瑞溪,刘娅君,罗泳楠,李杰芹,李彩霞,李佳佳,张成(14 | 128) |
| 里八甲以付砌小井衣広小件里並周町工力甲及八陸町川 | 120) |
| 长江流域微塑料污染特征及生态风险评价 ···································· | 439) |
| 宜昌市东山运河微塑料污染评估及年排放量估算丁爽, 李卫明, 张续同, 刘子健, 高雅坤, 李映成, 王芳炜 (14 | 448) |
| 汜水河(荥阳段)人河排污口水体微塑料赋存特征及风险评估赵长民,和兵,李和通,张瑞琪,李银月,张发文,桂新,马丽(14 | 457) |
| 宁夏人黄排水沟中药物和个人护理品的污染特征与生态风险评价高礼,李凌云,郑兰香,吴海娟,陶红,刘邓超(14 | |
| J 及八 舆 | +08) |
| 浙南瓯江流域水体抗生素污染特征及风险评价钟奕昕,李立湘,吴鑫,周施阳,姚飞延,董好刚 (14 | 480) |
| 鄱阳湖沉积物中多环芳烃的时空分布及源解析马妍,孙晨,毕笳乐,张波涛,刘艳,邵鹏,刘统,王圣瑞,钟文军(14 | 492) |
| 鄱阳湖沉积物中多环芳烃的时空分布及源解析 ··························马妍, 孙晨, 毕笳乐, 张波涛, 刘艳, 邵鹏, 刘统, 王圣瑞, 钟文军 (14 杭州湾南岸 20 a 水质净化功能变化及预测 ···································· | 502) |
| 不同缓冲区的土地利用方式对地表水水质的影响:以海河流域天津段为例代孟均,张兵,杜倩倩,孙季珲,田蕾,王义东(15 | 512) |
| | |
| 长江流域安庆段浅层地下水水化学特征及控制因素刘海,宋阳,李迎春,魏伟,赵国红,王旭东,黄健敏(15 | 525) |
| 富营养化湖泊藻华腐解产生的溶解性有机质动态变化及其环境效应张瑾、陈明滢、郝智能、钟寰、何欢、雷沛(15 | 539) |
| 些外来活化亚硫酸卦降解水中卡马西亚 林涛 | 553) |
| 富营养化湖泊藻华腐解产生的溶解性有机质动态变化及其环境效应 张瑾,陈明滢,郑智能,钟寰,何欢,雷沛 (15 紫外光活化亚硫酸盐降解水中卡马西平 林涛,苑宇杰 (15 再生水消毒副产物的检测、生成与控制 廖雨枫,王正,潘旸,李爱民 (15 | 555) |
| 再生水消毒制产物的检测、生成与控制 | 561) |
| 3种人工湿地基质材料对氨氮的吸附特性何强,陈博文,杨雨静,周全,刘彦君,王志刚,程呈(15 | 577) |
| 基于改讲谣感生态指数的青藏公路那(曲)安(多)段生态环境评估及驱动机制分析傅楷翔, 贾国栋, 余新晓, 王旭(15 | \ |
| ± 1 0/2/2015 ± 10/1/2017 1/201 | 586) |
| 其子 A W D C F I 的代海湾域 | 586) 508) |
| 基于改进遥感生态指数的青藏公路那(曲)安(多)段生态环境评估及驱动机制分析 · · · · · 博楷翔,贾国栋,余新晓,王旭(15基于AWRSEI的岱海流域生态环境质量时空演变及驱动因子分析 · · · · · · · · · · · · · · · · · · · | |
| 定量评估气候变化对长江中下游地区植被GPPcs变化的影响 ·················徐勇,盘钰春,邹滨,郑志威,郭振东(16 | 615) |
| | 615) |
| 定量评估气候变化对长江中下游地区植被GPP _{cs} 变化的影响 ······················徐勇,盘钰春,邹滨,郑志威,郭振东(16基于 Meta 分析的煤矿区植被恢复对土壤有机碳储量的影响 ·············李健明,康雨欣,蒋福祯,宋明丹,祁凯斌,卢素锦,李正鹏(16 | 615) 629) |
| 定量评估气候变化对长江中下游地区植被 GPP _{cs} 变化的影响 | 615) 629) 644) |
| 定量评估气候变化对长江中下游地区植被 GPP _{cs} 变化的影响 | 615) 629) 644) 655) |
| 定量评估气候变化对长江中下游地区植被 GPP _{GS} 变化的影响 | 615) 629) 644) 655) |
| 定量评估气候变化对长江中下游地区植被 GPP _{cs} 变化的影响 | 615) 629) 644) 655) |
| 定量评估气候变化对长江中下游地区植被 GPP cs变化的影响 | 615) 629) 644) 655) |
| 定量评估气候变化对长江中下游地区植被 GPP ₆₈ 变化的影响 | 615) 629) 644) 655) 665) |
| 定量评估气候变化对长江中下游地区植被 GPP cs变化的影响 | 615) 629) 644) 655) 665) |
| 定量评估气候变化对长江中下游地区植被 GPP cs变化的影响 | 615) 629) 644) 655) 665) 674) |
| 定量评估气候变化对长江中下游地区植被 GPP cs变化的影响 | 615) 629) 644) 655) 665) 674) |
| 定量评估气候变化对长江中下游地区植被 GPP cs变化的影响 | 615) 629) 644) 655) 665) 674) |
| 定量评估气候变化对长江中下游地区植被 GPP cs变化的影响 | 615) 629) 644) 655) 665) 674) 684) |
| 定量评估气候变化对长江中下游地区植被 GPP cs变化的影响 | 615) 629) 644) 655) 665) 674) 684) 702) 713) |
| 定量评估气候变化对长江中下游地区植被 GPP cs变化的影响 | 615) 629) 644) 655) 665) 665) 674) 684) 702) 713) 724) |
| 定量评估气候变化对长江中下游地区植被 GPP cs变化的影响 | 515) 529) 544) 555) 665) 674) 584) 592) 702) 713) 724) 739) |
| 定量评估气候变化对长江中下游地区植被 GPP cs变化的影响 | 515) 529) 544) 555) 665) 674) 584) 592) 702) 713) 724) 739) |
| 定量评估气候变化对长江中下游地区植被 GPP _G 变化的影响 基于 Meta 分析的煤矿区植被恢复对土壤有机碳储量的影响 | 615) 629) 644) 655) 665) 665) 674) 684) 692) 702) 713) 724) 739) |
| 定量评估气候变化对长江中下游地区植被 GPP cs变化的影响 | 515) 529) 544) 555) 565) 5674) 584) 592) 702) 713) 724) 739) 749) 760) |
| 定量评估气候变化对长江中下游地区植被 GPP cs 变化的影响 | 515) 529) 544) 555) 565) 5674) 584) 592) 702) 713) 724) 739) 760) 769) |
| 定量评估气候变化对长江中下游地区植被 GPP cs 变化的影响 | 515) 529) 544) 555) 565) 5674) 584) 592) 702) 713) 724) 739) 760) 769) 781) |
| 定量评估气候变化对长江中下游地区植被 GPP cs 变化的影响 | 515) 529) 544) 555) 565) 5674) 584) 592) 702) 713) 724) 739) 760) 769) 781) |
| 定量评估气候变化对长江中下游地区植被 GPP。实 化的影响 | 515) 529) 544) 555) 565) 574) 584) 592) 702) 713) 724) 739) 760) 769) 781) 793) |
| 定量评估气候变化对长江中下游地区植被GPP。变化的影响 | 615) 629) 644) 655) 665) 665) 674) 684) 692) 702) 713) 724) 739) 760) 769) 7781) 783) 803) |
| 定量评估气候变化对长江中下游地区植被 GPP cs 变化的影响 | 615) 629) 644) 655) 665) 674) 684) 692) 702) 713) 724) 739) 749) 760) 769) 781) 783) 803) 812) |
| 定量评估气候变化对长江中下游地区植被依9PPcs变化的影响基于Meta分析的煤矿区植被恢复对土壤有机碳储量的影响 李健明,康雨成,蒋福祯,宋明丹,祁凯斌,卢素锦,李正鹏(16连续周年轮作称耕对土壤团聚体稳定性及有机碳的影响 鲁泽让,李永梅,杨春怀,夏梓泰,程伟威,王自林,赵吉霞,范茂攀(164种改良剂对酸性紫色土肥力及活性有机碳组分的影响 丁馨茹,严宁珍,王子芳,李志琦,黄容,王洋,代文才,高明(16不同植茶年限土壤氨素组分变化及其与环境因子关系 邵奇,吴涛,解雪峰,徐梓晴,李文琦,蒋国俊,张建珍,徐飞(16覆膜年限和有机肥施用对花生田耕层土壤微塑料赋存特征的影响 宋宁宁,李梦佳,王学霞,刘君,王芳丽,宗海英,黄小丽,王斌,梁丽娜(16秸秆还田和添加生物炭对热带地区稻菜轮作体系中淹水后土壤温室气体排放的影响 宋宁宁,李梦佳,王学霞,刘君,王芳丽,宗海英,黄小丽,王斌,梁丽娜(16秸秆还田和添加生物炭对热带地区稻菜轮作体系中淹水后土壤温室气体排放的影响 "陈曦,张彦军,邹俊亮,李平天姿,于媛,李晶(17基于遥感时-空-谐特征及废配机森林模型的土壤重金属空间分布预测 王泽强,张冬明,雷菲,曾建华,汤水荣,在延正,孟磊(16基于遥感时-空-谐特征及度配机森林模型的土壤重金属空间分布预测 王泽强,张冬有,徐夕博,王兆鹏,杨东宇,宋晚宁(17英河流域农田土壤重金属污染物源分析及环境质量评价 青凯琦,徐宏根,甘杰,孝平,李开明,焦亮,台喜生,臧飞,曹孝珍(17基于信息扩散模型的洋东新城区土壤重金属潜在生态风险评估 杨烨宇,李程,杨忠芳,张起钴,邹胜章,宋淑娥,蔡贺清(17基于信息扩散模型的洋东新城区土壤重金属潜在生态风险评估 杨烨宇,李程,杨忠芳,张起钴,邹胜章,宋淑娥,蔡贺清(17基于信息扩散模型的洋东新城区土壤鱼属潜在生态风险评价 "自动,余宏根,甘杰,戴亮克,李毅,李凯,许青阳,张俊,邓世民,李颖(17在级尺度土壤 As 迁移转化与水稻安全种植区划,以贵州省为例 "董心月,吴勇,周子寒,王佛鹏,张云霞,宋波(17至DDS 对土壤铜霜有效性及蓖麻吸收转运的影响 "本秋,美,美,,景轩绪,欧阳坤,季娇峰,李情,游萍,月刚,原柏寒(17至DDS 对土壤铜霜有效性及蓖麻吸收转运的影响 "净,王秋实,高培培,赵全利,杨威,王钊,刘文菊,薛培英(18民勤绿洲退耕地土壤微生物群落结构与功能多样性特征 李常乐,张富,王理德,赵赫然,赵学成,张恒平(18民勤绿洲退耕地土壤微生物群落结构与功能多样性特征 李常乐,张富,王理德,赵赫然,赵学成,张恒平(18民勤绿洲退耕地土壤微生物群落结构与功能多样性特征 李常乐,张富,王理德,赵赫然,赵学成,张恒平(18日助绿洲退耕地土壤微生物群落结构与功能多样性特征 李常乐,张富,王理德,赵赫然,赵举成,张恒平(18民勤绿洲退耕地土壤微生物群落结构与功能多样性特征 李常乐,张富,王理德,赵赫然,赵举成,张恒平(18民勤绿洲退耕地土壤微生物群落结构与功能多样性特征 | 615) 629) 644) 655) 665) 674) 684) 692) 702) 713) 724) 739) 749) 760) 7781) 781) 803) 812) 821) |
| 定量评估气候变化对长江中下游地区植被依9PPcs变化的影响基于Meta分析的煤矿区植被恢复对土壤有机碳储量的影响 李健明,康雨成,蒋福祯,宋明丹,祁凯斌,卢素锦,李正鹏(16连续周年轮作称耕对土壤团聚体稳定性及有机碳的影响 鲁泽让,李永梅,杨春怀,夏梓泰,程伟威,王自林,赵吉霞,范茂攀(164种改良剂对酸性紫色土肥力及活性有机碳组分的影响 丁馨茹,严宁珍,王子芳,李志琦,黄容,王洋,代文才,高明(16不同植茶年限土壤氨素组分变化及其与环境因子关系 邵奇,吴涛,解雪峰,徐梓晴,李文琦,蒋国俊,张建珍,徐飞(16覆膜年限和有机肥施用对花生田耕层土壤微塑料赋存特征的影响 宋宁宁,李梦佳,王学霞,刘君,王芳丽,宗海英,黄小丽,王斌,梁丽娜(16秸秆还田和添加生物炭对热带地区稻菜轮作体系中淹水后土壤温室气体排放的影响 宋宁宁,李梦佳,王学霞,刘君,王芳丽,宗海英,黄小丽,王斌,梁丽娜(16秸秆还田和添加生物炭对热带地区稻菜轮作体系中淹水后土壤温室气体排放的影响 "陈曦,张彦军,邹俊亮,李平天姿,于媛,李晶(17基于遥感时-空-谐特征及废配机森林模型的土壤重金属空间分布预测 王泽强,张冬明,雷菲,曾建华,汤水荣,在延正,孟磊(16基于遥感时-空-谐特征及度配机森林模型的土壤重金属空间分布预测 王泽强,张冬有,徐夕博,王兆鹏,杨东宇,宋晚宁(17英河流域农田土壤重金属污染物源分析及环境质量评价 青凯琦,徐宏根,甘杰,孝平,李开明,焦亮,台喜生,臧飞,曹孝珍(17基于信息扩散模型的洋东新城区土壤重金属潜在生态风险评估 杨烨宇,李程,杨忠芳,张起钴,邹胜章,宋淑娥,蔡贺清(17基于信息扩散模型的洋东新城区土壤重金属潜在生态风险评估 杨烨宇,李程,杨忠芳,张起钴,邹胜章,宋淑娥,蔡贺清(17基于信息扩散模型的洋东新城区土壤鱼属潜在生态风险评价 "自动,余宏根,甘杰,戴亮克,李毅,李凯,许青阳,张俊,邓世民,李颖(17在级尺度土壤 As 迁移转化与水稻安全种植区划,以贵州省为例 "董心月,吴勇,周子寒,王佛鹏,张云霞,宋波(17至DDS 对土壤铜霜有效性及蓖麻吸收转运的影响 "本秋,美,美,,景轩绪,欧阳坤,季娇峰,李情,游萍,月刚,原柏寒(17至DDS 对土壤铜霜有效性及蓖麻吸收转运的影响 "净,王秋实,高培培,赵全利,杨威,王钊,刘文菊,薛培英(18民勤绿洲退耕地土壤微生物群落结构与功能多样性特征 李常乐,张富,王理德,赵赫然,赵学成,张恒平(18民勤绿洲退耕地土壤微生物群落结构与功能多样性特征 李常乐,张富,王理德,赵赫然,赵学成,张恒平(18民勤绿洲退耕地土壤微生物群落结构与功能多样性特征 李常乐,张富,王理德,赵赫然,赵学成,张恒平(18日助绿洲退耕地土壤微生物群落结构与功能多样性特征 李常乐,张富,王理德,赵赫然,赵举成,张恒平(18民勤绿洲退耕地土壤微生物群落结构与功能多样性特征 李常乐,张富,王理德,赵赫然,赵举成,张恒平(18民勤绿洲退耕地土壤微生物群落结构与功能多样性特征 | 615) 629) 644) 655) 665) 674) 684) 692) 702) 713) 724) 739) 749) 760) 7781) 781) 803) 812) 821) |
| 定量评估气候变化对长江中下游地区植被 CPP。安变化的影响基于 Meta 分析的煤矿 区植被恢复对土壤有机碳储量的影响 *** *** *** *** *** *** *** *** *** * | 615) 629) 644) 655) 665) 665) 674) 684) 692) 702) 713) 724) 739) 749) 760) 769) 781) 803) 812) 821) |
| 定量评估气候变化对长江中下游地区植被 GPP。变化的影响 基于Meta分析的煤矿区植被恢复对土壤有机碳储量的影响 李健明,康雨欣,蒋福祯,宋明升,帮凯诚,卢素锦,李正聘(16连续周年轮作体耕对土壤团聚体稳定性及有机碳的影响 鲁泽让,李永梅、夏梓泰、程传成、王自林,赵吉霞,范茂攀(4种改良剂对酸性紫色土肥力及活性有机碳组分的影响 丁馨菇,严宁珍,王子芳,孝志琦,黄容,王洋,代文才,高明(16不同植茶年限土壤氮素组分变化及其与环境因子关系 耶奇,吴涛,解雪峰,徐梓晴,李文琦,蒋国俊,张建珍,徐飞(16黄河下游典型湿地土壤养分及其生态化学计量特征 王传盈,王凯月,王浩然,张梦迪,周云凯(16覆膜年限和有机肥随用对花生田耕层土壤微塑料赋存特征的影响 宋宁宁,李梦佳,王学霞,刘君,王芳丽,宗海英,黄小丽,王斌,梁丽娜(16精秤还田和添加生物炭对热带地区稻菜轮作体系中淹水后土壤温室气体排放的影响 陈曦,张彦军,邹俊亮,孝天姿,于媛,幸晶(17基于遥感时-空。谐特征及随机森林模型的土壤重金属空间分布预测 王泽强,张冬有,徐夕博,王兆鹏,杨东宇,宋晓宁(17黄河流域农田土壤重金属污染特征及其优先控制源分析。李军,李老,亲,明,皇亲,明自章。宋淑娘,蔡旁清(17基于信息扩散模型的洋东新城区土壤重金属潜在生态风险评估 杨坤宁,李星,杨忠芳,张龙钻,如桂亮,由青生,城京,曹素珍(17省级尺度土壤和东近谷李种植区划;以贵州省为例。 秦年,书明,集废,的青草,宋淑娘,蔡旁清(17省级尺度土壤和东近移轮化与水稻安全种植区划;以贵州省为例。 秦年,,北秦,,北秦,前,晴,王载,吴健(17省级尺度土壤和东迁移转化与水稻安全种植区划;以贵州省为例。 秦年,时,是勇,周子寒,王佛鹏,张云霞,宋波(17至10日,其明,周子寒,王岭,吴俊(17省级尺度土壤和东迁移转化与水稻安全种植区划;以贵州省为例。 秦月捐,欧阳坤,秦桥,丰阳,张安,南杭,秦柏寒(17至10日),入京,东坡(17至10日),入京,东坡(18年),入京东,北东省,河流,京村东(18年),入京东,北东省、大东市,河流,京村东(18年),入京东,北东省、大东省、北京东省、北京东省、北京东省、北京东省、北京东省、北京东省、北京东省、北京 | 515) 529) 544) 555) 665) 674) 584) 584) 692) 702) 713) 724) 739) 760) 769) 781) 793) 803) 812) 830) 840) |
| 定量评估气候变化对长江中下游地区植被 GPP。变化的影响 | 515) 529) 544) 555) 665) 674) 684) 692) 702) 713) 724) 739) 749) 760) 781) 793) 803) 812) 830) 849) |
| 定量评估气候变化对长江中下游地区植被保登内。变化的影响 | 515) 529) 544) 555) 665) 674) 684) 692) 702) 713) 724) 739) 749) 760) 781) 793) 803) 812) 830) 849) |
| 定量评估气候变化对长江中下游地区植被 GPP。变化的影响 | 515) 529) 544) 555) 665) 674) 684) 692) 702) 713) 724) 739) 749) 760) 781) 793) 803) 812) 830) 849) |

富营养化湖泊藻华腐解产生的溶解性有机质动态变化 及其环境效应

张瑾¹, 陈明滢², 郝智能^{3,4}, 钟寰¹, 何欢², 雷沛^{1,2,5*}

(1. 南京大学环境学院污染控制与资源化研究国家重点实验室,南京 210023; 2. 南京师范大学环境学院,南京 210023; 3. 中国科学院生态环境研究中心环境化学与生态毒理学国家重点实验室,北京 100085; 4. 中国科学院大学,北京 100049; 5. 中国科学院生态环境研究中心环境水质学国家重点实验室,北京 100085)

摘要: 富营养化和有害藻华是湖泊面临的主要环境问题,富营养化湖泊藻华在后期会发生衰亡和腐解并产生大量藻源溶解性有机质(DOM),影响水体 DOM 的质量和活性,并对关键元素的生物地球化学循环产生重要调控作用.为探究不同富营养化程度湖泊水体藻华腐解过程,对藻华腐解过程中水体 DOM 总量、生物有效性、相对分子质量和组分的动态变化进行分析,并探讨了藻华腐解引发的环境效应.结果表明,藻华腐解显著提高 DOM 浓度、生物有效性和各荧光组分强度.随着腐解的进行,DOM 浓度逐渐降低,而相对分子质量逐渐增大.在分子水平上,超高分辨率质谱结果显示腐解过程中不饱和烃和脂肪族化合物优先被微生物利用,并生成木质素、缩合烃和高 O/C 值的单宁酸等惰性分子.藻华腐解过程中细菌群落主要优势种从变形菌门(46%)逐渐变为拟杆菌门(42%).此外,藻华腐解还导致水体 CO₂和 CH₄排放显著升高 1.2~5倍,且排放量可以由 DOM 光学指标 a₂₅₄预测.该结果为全面揭示藻华腐解过程中 DOM 特征的动态变化,以及湖泊富营养化治理和环境效应预测提供理论依据和科学支撑.

关键词:溶解性有机质;生物有效性;相对分子质量;藻华腐解;温室气体

中图分类号: X524 文献标识码: A 文章编号: 0250-3301(2024)03-1539-14 DOI: 10.13227/j, hjkx. 202305135

Dynamic Changes of Dissolved Organic Matter Derived from Algal Decomposition and the Environmental Effects in Eutrophic Lakes

ZHANG Jin¹, CHEN Ming-ying², HAO Zhi-neng^{3,4}, ZHONG Huan¹, HE Huan², LEI Pei^{1,2,5*}

(1. State Key Laboratory of Pollution Control and Resource Reuse, School of the Environment, Nanjing University, Nanjing 210023, China; 2. School of Environment, Nanjing University, Nanjing 210023, China; 3. State Key Laboratory of Environmental Chemistry and Ecotoxicology, Research Center for Eco-Environmental Sciences, Chinese Academy of Sciences, Beijing 100049, China; 5. State Key Laboratory of Environmental Aquatic Chemistry, Research Center for Eco-Environmental Sciences, Chinese Academy of Sciences, Beijing 100049, China; 5. State Key Laboratory of Environmental Aquatic Chemistry, Research Center for Eco-Environmental Sciences, Chinese Academy of Sciences, Beijing 100085, China)

Abstract: The global occurrences of lake eutrophication have led to algal bloom and the subsequent algal decomposition, releasing high amounts of algae-derived dissolved organic matter (DOM) into the lake water. Algae-derived DOM could regulate the quantity and composition of DOM in lake water and further impact the biogeochemical cycles of multiple elements. In this study, the dynamic changes in the quantity and quality of DOM during algal decomposition under different eutrophic scenarios (e. g., from oligotrophication to severe eutrophication) were monitored, and the corresponding environmental effects (e. g., microbial responses and greenhouse gas emissions) caused by algal decomposition were further explored. The results showed that algal decomposition significantly increased the DOM levels, bioavailability, and intensities of fluorescent components in the water. The total DOM levels gradually decreased, whereas the average molecular weight increased along the decomposition process. Furthermore, unsaturated hydrocarbon and aliphatic compounds were preferentially utilized by microorganisms during algal decomposition, and some refractory molecules (e. g., lignin, condensed hydrocarbons, and tannin with high O/C values) were synchronously generated, as evidenced by the results from ultra-high-resolution mass spectrometry. The dominant bacterial species during algal decomposition shifted from Proteobacteria (46%) to Bacteroidetes (42%). In addition, algae addition resulted in 1. 2-5 times the emissions of CO₂ and CH₄ from water, and the emission rates could be well predicted by the optical index of a₂₅₄ in water. This study provides comprehensive perspectives for understanding the environmental behaviors of aquatic DOM and further paves the ways for the mitigation of lake eutrophication.

Key words: dissolved organic matter; bioavailability; relative molecular weight; algal decomposition; greenhouse gas

城市化迅速发展导致大量富含氮磷的废污水直接或间接排入湖泊水体,使得湖泊富营养化成为最严重的水环境问题之一^[1]. 全球面积超过25 km²的湖泊中,有60%都处于富营养化状态,而我国达到富营养化状态的大型湖泊(面积大于10 km²)甚至超过总数的85%^[1]. 湖泊富营养化不仅对水生生态系统带来严重的危害,同时也对碳等元素生物地球化学循环产生重要调控作用^[2,3]. 湖泊藻华一般会经历"复苏-暴发-衰亡-休眠"的循环^[4]. 在藻华暴发阶段,浮游植

物生产力显著增加,导致碳沉降率增加^[5];而在藻华衰亡和腐解阶段,藻细胞的凋亡会向水体释放大量糖类、类蛋白和木质素等物质,成为湖水中溶解性有机质(DOM)的重要来源^[6], DOM 是连接生命形态碳

收稿日期: 2023-05-15; 修订日期: 2023-06-12

基金项目: 国家自然科学基金项目(42107383);江苏省自然科学基金项目(BK20200322);环境模拟与污染控制国家重点联合实验室专项经费项目(20K02ESPCR)

作者简介: 张瑾(1999~),女,博士研究生,主要研究方向为溶解性有机质的环境行为与效应,E-mail: zhangjin@smail. nju. edu. cn

* 通信作者,E-mail: peilei@njnu.edu.cn

和无机碳的关键纽带,并对污染物(如重金属和有机污染物等)的生物有效性和环境行为产生重要影响^[7]. DOM直接参与水体有机碳动态循环过程,部分活性和半活性组分可以被微生物利用并以 CO₂和 CH₄ 的形式释放回大气,而另一部分难降解组分则以相对惰性有机质的形式保存在湖泊水体和沉积物中^[8]. 因此全面了解藻华腐解过程中 DOM 性质的变化,对理解富营养湖泊碳库的动态变化以及富营养化治理具有重要意义.

已有研究模拟了蓝藻和刚毛藻等浮游植物腐解 过程中 DOM 的变化[9,10],然而,以上研究多以单一手 段表征 DOM 特性,不利于全面揭示 DOM 组成变化. 例如,三维荧光光谱法常用于解析 DOM 的荧光组分 信息,但它缺乏相应的分子结构解释[4,11]. DOM 相对 分子质量对污染物的生物有效性具有重要影响[12.13], 有研究表明63%~94%的重金属与较高芳香度且相对 分子质量高的 DOM 组分络合[13]. 而目前对藻华腐解 过程中水体DOM相对分子质量分布及生物有效性的 变化关注较少. 富营养化湖泊水体温室气体的产生 和排放也是当前关注的热点[14,15]. 已有研究发现湖 泊富营养化会促进DOM的矿化并提升温室气体的排 放[15,16]. 然而,富营养化湖泊水体温室气体排放过程 复杂,受到光合作用、呼吸作用和分解作用等共同影 响回,藻华腐解对湖泊温室气体排放的影响目前尚 未得到充分认知,不利于全面理解和准确预测藻华 引起的湖泊温室气体排放效应.

为此,本研究模拟不同富营养化程度的湖泊藻华腐解过程,以全面揭示水体DOM总量、生物有效性、相对分子质量和组分的动态变化.其中,采用不同尺寸的透析袋对DOM进行相对分子质量分级实验以探究藻华腐解过程中DOM相对分子质量变化.结合三维荧光光谱和超高分辨率质谱(傅里叶变换离子回旋共振质谱,FT-ICR MS),从分子水平揭示藻华腐解过程DOM组成变化.此外,还同步关注了藻华腐解过程中细菌群落结构多样性的变化以及CO₂和CH₄排放量的变化.本研究通过全面揭示藻华腐解过程中DOM的动态变化和引发的环境效应,以期为未来湖泊富营养化治理和修复提供数据基础和科学支撑.

1 材料与方法

1.1 区域概况

巢湖位于安徽省中部,为长江下游左岸水系湖泊,是我国第五大淡水湖. 巢湖湖面东西长约55 km,南北宽约21 km,湖岸线周长约180 km,湖面面积约为780 km²,平均水深2.9 m. 巢湖的湖水补给主要来

自于地表径流,沿湖共有35条河流并呈放射状汇入 巢湖,其中南淝河、杭埠河和白石天河3条河流入湖 径流量占总径流量75%以上^[18]. 近几十年来,随着社 会经济迅速发展,周边城镇产生的大量废污水排放 入湖,加剧了巢湖的富营养化进程^[19]. 巢湖的藻华暴 发主要集中在每年5~8月,并呈现西高东低以及湖周 高湖心低的特点^[19]. 2019~2020年巢湖水体富营养化 指数在50~70之间,其中,西半湖区水体富营养化指 数为61,长期处于中度甚至重度富营养化状态^[20].

1.2 样品采集与处理

巢湖西半湖的北部湖湾主要承接合肥市排放的 生活污水,是富营养化相对严重的区域;同时,受东 南季风的影响,每年夏季有大量藻类聚集在西半湖 的北部湖湾[21]. 因此,选择该区域采集藻华样品[图1 (a)],以重点考察富营养化湖泊藻华腐解对水体 DOM产生的影响和环境效应. 采样点设置在南淝河 入湖河口处[图1(b)],使用125目浮游生物采集网在 藻类聚集的水面来回拖动,采集藻类样品置于车载 冰箱并尽快运回实验室. 用超纯水清洗样品表面杂 质后冷冻干燥获取藻粉[图1(c)]. 藻粉用于后续藻 华腐解模拟实验,以保证每次藻添加量的均一性和 实验结果的稳定性. 巢湖藻华期间藻类以微囊藻 (Microcystis spp.)为主[22],这也是我国其它淡水湖泊 藻华暴发时的优势种[23~25]. 因此,从巢湖采集的藻类 样品可以较好地代表我国典型富营养化湖泊状况. 同步选取湖面相对清洁的区域采集湖泊表层水样 品,低温运至实验室作为室内培养实验用水.

1.3 实验设置

为考察湖泊不同富营养化程度下藻华腐解产生 的藻源 DOM 动态变化特征,本研究向 40 mL未过滤 湖水中分别加入0、1、5和10 mg藻粉,以分别模拟湖 泊水体的贫营养(记为"对照组")、轻度富营养(记为 "低加藻组")、中度富营养(记为"中加藻组")和重度 富营养(记为"高加藻组")状态. 各实验组水体中初 始叶绿素 a浓度分别为(15.3±1.76)、(241±19.4)、 (969±20.0)和(1919±59)µg·L⁻¹,其中各加藻组叶绿 素a浓度与富营养化湖泊水体叶绿素a浓度范围 (150~3 000 μg·L⁻¹)基本一致^[26]. 藻水培养体系用封 口膜密封,充分混匀后置于恒温箱中避光培养,培养 温度为23℃(藻华腐解期9~11月巢湖流域平均气 温),避光以防止培养过程中 DOM 发生光降解. 取样 时间点设定为0、1、3、7、12、18和24 d. 各实验组均 设置3个平行. 在每个时间点进行破坏性取样,测定 水体 DOC浓度,同时对 DOM 进行紫外-可见光谱和三 维荧光光谱表征,以观察藻华腐解过程中DOM的动 态变化特征.同步测定藻华腐解过程产生的温室气



图 1 巢湖采样点位 Fig. 1 Sampling sites of Chaohu Lake

体(包括 CO₂和 CH₄)浓度,以探究藻华腐解带来的环境效应.此外,分别在腐解前期(1 d或 3 d)、中期(12 d)和后期(24 d)额外选取对照组和高加藻处理组样品,用于 DOM 分级测定和 DOM 超高分辨率质谱表征,以及观察藻华腐解过程中 DOM 相对分子质量和分子组成变化;同时,对水体细菌丰度和群落结构进行调查,以考察藻华腐解不同阶段细菌丰度和群落变化及其对藻源 DOM 的响应.

1.4 指标分析

1.4.1 DOC浓度测定及 DOM 生物可利用性组分的确定

取部分水样经 0.45 μ m 滤膜过滤,所得滤液即为待测 DOM 样品.利用总有机碳分析仪 $(TOC-V_{epn}, Shimadzu, Japan)$ 测量 DOC 浓度 $(mg \cdot L^{-1}, UCH)$,以表示藻华腐解产生的藻源 DOM 总量的变化. DOM 生物降解过程中 DOC 浓度随时间 (t) 的动态变化符合 G 模型,即: $DOC=c_1e^{-k_1t}+c_2e^{-k_2t}+c_3e^0$. 该模型确定了 DOM 由 3 种不同生物可利用性组分的指数衰减项之和组成,包括易降解组分 (c_1) 、半易降解组分 (c_2) 和难降解组分 (c_3) , k_1 和 k_2 分别表示易降解和半易降解组分的一级衰减常数 [27]. 该模型已被广泛用于水体 DOM 生物降解过程中不同生物可利用性组分的定量评估 [28,29].

1.4.2 DOM 紫外-可见吸收光谱测定

利用紫外-可见分光光度计(UV-1800,Shimadzu)测量水体 DOM 紫外-可见吸收光谱,测量波长范围为 200~800 nm,间隔为 1 nm,以 Milli-Q 超纯水作为空白.分别选取 a_{254} 、SUVA₂₅₄和光谱斜率 $S_{275-295}$ 以表示 DOM 浓度^[30]、DOM 芳香性^[31]和 DOM 相对分子质量^[32]的变化.

1.4.3 DOM 相对分子质量分级测定

对DOM进行相对分子质量分级测定以探究藻华

腐解过程中 DOM 相对分子质量变化. 分别使用相对 分子质量为 3 500 和 10 000 的透析袋(SnakeSkin® Dialysis Tubing, Thermo Scientific, USA),将藻源 DOM 分为相对分子质量<3500组分(小分子)、相对分子 质量为3500~10000组分(中分子)和相对分子质量> 10 000 组分(大分子)[33]. 剪取一定长度相对分子质 量为3500的透析袋,向其中加入20mL浓缩过滤藻 源 DOM 溶液, 然后将其放入含 400 mL去离子水烧杯 中,在恒温(4℃)和黑暗条件下持续搅拌48 h. 透析结 束后,烧杯中溶液即为相对分子质量<3500组分.而 后将透析袋中的样品(相对分子质量>3 500)转移到 相对分子质量为10000的透析袋中进行下一步分 级. 重复上述过程,最终透析袋中的样品为相对分子 质量>10 000组分,而透析袋外的样品为相对分子质 量3500~10000组分.取样结束后,每个组分样品测 定 DOC 浓度以评估不同分子组分的比例. 分级 DOC 的整体回收率在93.6%~100%之间.

1.4.4 DOM 三维荧光光谱测定

利用荧光分光光度计(F-7000, Hitachi)测定水体DOM 三维荧光光谱. 采用 1 cm 石英比色皿,光源为150 W 氙灯,电压设定为700 V,波长误差为±1 nm. 其中,波长的扫描范围为:激发波长(E_x)200~400 nm 和发射波长(E_m)250~580 nm,波长间隔均为5 nm,扫描速度为12 000 nm·min⁻¹,以Milli-Q超纯水作为空白.采用荧光区域积分进行DOM组分分析,根据荧光峰的位置不同,可将三维荧光光谱划分为5个区域^[34],分别对应5类物质,包括酪氨酸类蛋白质(E_x :200~250 nm; E_m :280~330 nm)、色氨酸类蛋白质(E_x :200~250 nm; E_m :380~550 nm)、溶解性微生物代谢产物(E_x :250~340 nm; E_m :380~550 nm).

1.4.5 DOM 超高分辨质谱表征

利用傅立叶变换离子回旋共振质谱仪(FT-ICR MS, Bruker SolariX, 15.0 T)表征水体 DOM 分子组成^[29,35]. 将待测水样酸化至 pH值<2,然后通过固相萃取柱(Agilent Bond Elute PPL, 0.5 g, 6 mL)进行有机组分的富集和浓缩. 样品负载后,用甲醇洗脱,收集洗脱液进行上机分析. 根据分子式中是否存在杂原子 N和S将分子分为4类:CHO、CHON、CHOS和CHONS,根据分子式的H/C和O/C将分子分为7类,包括脂类(O/C:0~0.3;H/C:1.5~2.0)、蛋白质类(O/C:0.3~0.67;H/C:1.5~2.2)、木质素类(O/C:0.3~0.67;H/C:0.7~1.5)、碳水化合物类(O/C:0.67~1.2;H/C:1.5~2.4)、不饱和烃类(O/C:0~0.3;H/C:0.7~1.5)、缩合烃类(O/C:0~0.67;H/C:0.2~0.7)和单宁酸类(O/C:0.67~1.0;H/C:0.5~1.5)^[35].

1.4.6 水体细菌丰度以及群落结构测定

使用 0. 22 μm 滤膜对藻华腐解溶液进行抽滤,将滤膜于-80°C中保存待测.采用 DNA 提取试剂盒 (MO BIO Laboratories, Carlsbad, CA, USA) 对样本 DNA 进行提取,以稀释后的基因组 DNA 为模板,使用 515F(5′-GTGCCAGCMGCCGCGGTAA-3′)和 909R(5′-CCCCGYCAATTCMTTTRAGT-3′)作为 PCR 扩增引物,随后进行细菌 16S rRNA 荧光定量以及 Illumina 高通量测序^[36]、测序结果利用 Qiime(V1. 9. 0)进行质量控制、OUT聚类、物种注释以及均一化处理^[37].

1.4.7 水体温室气体浓度测定

将50 mL离心管的盖子预先打孔并用硅橡胶(南大704 硅橡胶,室温固化硅橡胶). 待加入湖水和适量藻粉后,拧紧离心管盖并用硅橡胶将离心管盖周围一圈密封随后进行培养. 在每个取样点,用注射器和三通阀定量抽取培养系统中顶空气体,然后将气体迅速注入气相色谱(HP-5890 Series II, Agilent Technologies Inc., USA),得到样品的色谱图. 以色谱标准物质 CH4和 CO2保留时间为定性依据,以峰面积作为响应值,计算藻华腐解过程中产生 CH4和 CO2的量[38].

1.5 统计分析

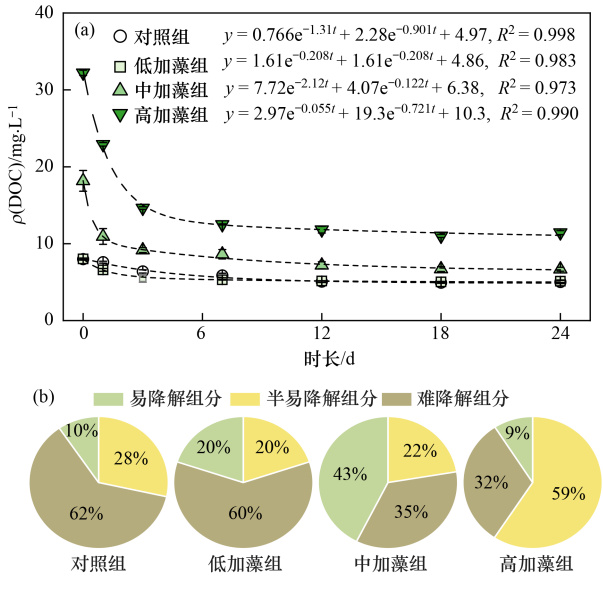
采样点位图由 ArcGIS 10.8制作,数据图由 Origin 8.5制作,Mental 检验相关关系图由 RStudio 4.2.0制作.利用 IBM SPSS Statistics 26进行统计分析,包括单因素方差分析(ANOVA)和平均值t检验,显著性水平为P<0.05.

2 结果与讨论

2.1 DOM 总量及生物有效性变化

随着藻华腐解的进行,水体DOC浓度均呈现出

指数衰减的趋势[图 2(a)]. 所有实验组 DOC 的降解 均遵循先快后慢的特点,其中,前3d的DOC降解率 可达总降解率的54%~87%. 随着藻密度的增加,水体 初始ρ(DOC)(以C计,下同)从对照组7.99 mg·L⁻¹增 加到高加藻组 32.2 mg·L⁻¹,这说明藻华腐解可以显 著提高水体 DOM 总量. 经过24 d的腐解,对照组、 低、中和高加藻处理组 $\rho(DOC)$ 分别降至5.02、 5.12、6.68 和 11.4 mg·L⁻¹,对应 DOC 降解率分别为 37%、36%、63%和65%,即DOC初始浓度越高,DOC 降解速率越快,最终DOC降解率越高.这表明水体富 营养化程度越高,藻华腐解向水体释放 DOM 越多,进 而促进微生物的增长,以加剧 DOM 的生物降解[39]. 进一步通过G模型分析发现,对照组水体DOM易降 解 (c_1) 和半易降解 (c_2) 组分占比分别为 10% 和 28%, 而高加藻处理组这两者占比分别达到43%和22% [图 2(b)],这说明随着富营养化程度的加剧,藻华腐 解会向水体输入更高比例的活性有机质组分[28]. 以 上结果表明,随着水体富营养化程度的加剧,藻华腐 解会向水体释放更多数量和更高比例的活性有机 质,从而驱动微生物的增长并对DOM的动态变化产 生重要调控作用[40,41]



(a) DOC浓度,(b) DOM生物可利用性组分占比

图 2 藻华腐解过程中水体 DOM 浓度和生物有效性动态变化

Fig. 2 Dynamic changes in concentrations and bioavailability of DOM during algal decomposition

2.2 DOM 光谱指标变化

DOM 吸收系数 a_{254} 会随其含有化合物的芳香环缩合程度、含碳比例以及总含碳量增加而增加,主要表征 DOM 相对浓度^[30]. 本研究中,低、中和高加藻处理组水体 a_{254} 随着腐解的进行下降趋势非常明显,24 d腐解过程中分别降低了 41%、71% 和 83%,且下降主要集中在腐解前 3 d[图 3(a)]. 对照组水体 a_{254} 在腐

解过程中变化不大.

SUVA,4主要用于指示 DOM 芳香性[31]. 加藻组水 体SUVA₅₄表现出不同的变化趋势. 其中,低和中加藻 组水体 SUVA,54 在腐解前 3 d分别从 1.69 L·(mg·m)-1 和 2.34 L·(mg·m)⁻¹降至 1.13 L·(mg·m)⁻¹和 1.29 L·(mg·m)⁻¹,随后又逐渐上升到1.60 L·(mg·m)⁻¹和 1.70 L·(mg·m)-1左右并保持稳定[图 3(b)]. 而高加 藻组水体 SUVA254则一直处于降低趋势,从初始 2.40 L·(mg·m)⁻¹降低至1.28 L·(mg·m)⁻¹[图3 (b)]. SUVA,4的降低可能与部分含氧官能团的芳香 性物质被微生物生长利用有关[31,42],这部分物质的 降解速率可能高于非腐殖组分的分解以及芳香类腐 殖组分的生成速率. 当低和中加藻组中引入的这部 分物质消耗殆尽后,水体腐殖化逐渐增加.而高加 藻组中引入的这部分芳香性物质过多,从而使 SUVA₅₅₄一直处于下降趋势. 对照组水体 SUVA₅₅₄在 3 d后逐渐增大并于12 d趋于稳定,到腐解末期 SUVA₃₅₄增大了约1.5倍[图3(b)],这表明随着腐解 的进行,容易分解的物质被逐步消耗从而使富含芳 香环结构的腐殖质占比逐步升高,导致对照组水体 DOM 腐殖化程度增强[43].

 $S_{275,205}$ 可反映 DOM 相对分子质量大小,且值越大 表示 DOM 相对分子质量越小[32]. 各加藻组水体 $S_{275-295}$ 随腐解时间均呈下降趋势[图 3(c)],表明腐解过程 中藻源 DOM 的相对分子质量逐渐增大. 与本研究结 果类似,Balch等[44]也发现藻源DOM的相对分子质量 随培养时间逐渐增大,45 d DOM的相对分子质量为 6 d的两倍. 这表明藻华腐解产生的小分子物质会优 先被微生物利用而消耗,最终剩下一些难降解的相 对分子质量较高的物质[45].此外,富营养化水体 $S_{275,295}$ 显著升高并与藻密度呈正相关,低、中和高加 藻组水体初始 S_{275~295} 分别达到 37.1、52.3 和 58.1 μm⁻¹[图 3(c)],这可能是由于内源性有机质含有较多 的小分子氨基酸和碳水化合物,从而导致相对分子 质量随藻密度增加而逐渐降低[46]. 对照组水体 S275-295 稳定在 21. 5~32. 4 μm⁻¹之间,平均值为 25 μm⁻¹,保持 相对稳定[图 3(c)],表明对照组水体 DOM 相对分子 质量变化不大.

2.3 DOM 相对分子质量变化

随着藻华腐解的进行,DOM小分子组分(相对分子质量<3 500、中分子组分(相对分子质量 3 500~10 000)和大分子组分(相对分子质量>10 000)浓度均呈下降趋势.小、中和大分子组分 ρ (DOC)分别从12.0、6.61和9.77 mg·L⁻¹降至2.92、1.01和1.67 mg·L⁻¹[图4(a)].其中,小分子组分和中分子组分 ρ (DOC)共减少了14.7 mg·L⁻¹,减少量要高于大分子

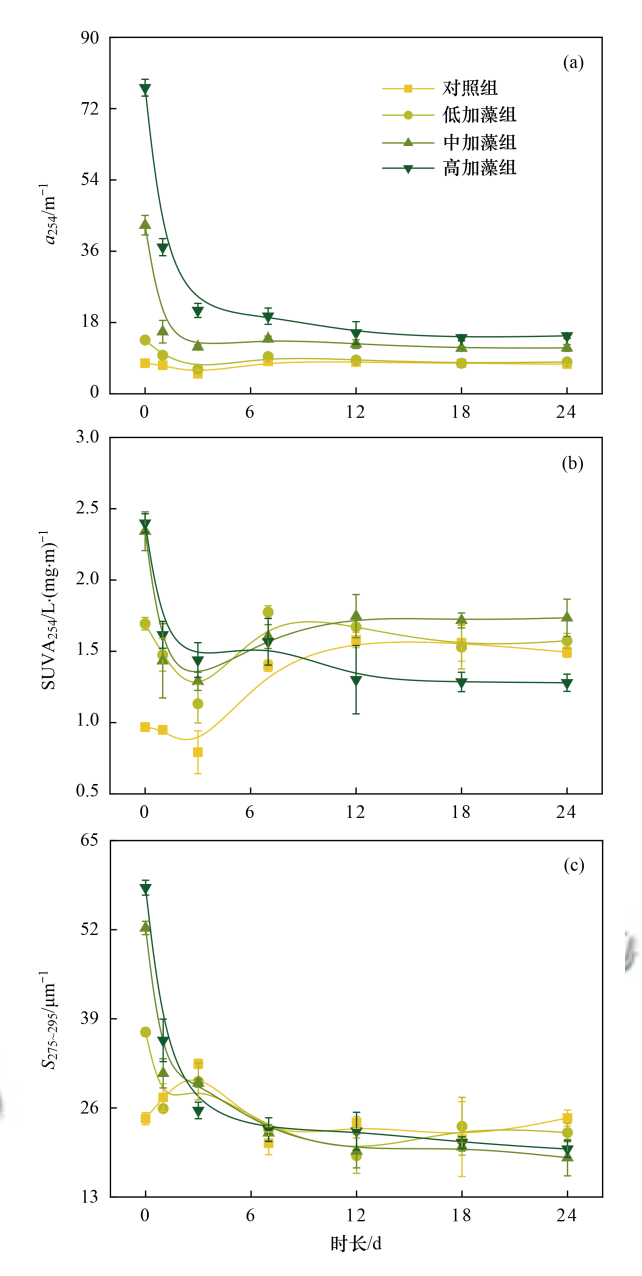


图 3 藻华腐解过程中 DOM 紫外-可见光谱指标变化

Fig. 3 Dynamic changes in DOM ultraviolet-visible spectra parameters during algal decomposition

组分的减少量(8. $10 \text{ mg} \cdot \text{L}^{-1}$),这表明随着藻华腐解的进行,水体 DOM 相对分子质量逐渐增大,与上述 $S_{275-295}$ 变化趋势保持一致[图 3(c)].在藻华腐解不同阶段,不同分子组分比例变化不大,小、中和大分子组分的平均占比分别为 45%、34% 和 21%[图 4(b)],这也表明了藻华腐解会向水体输入大量氨基酸等小分子物质,这些小分子物质一般具有较高的生物活性,从而对水体微生物增长和污染物的转化产生重要影响[45].

2.4 DOM 组分变化

2.4.1 DOM 荧光组分变化

藻华腐解过程中,加藻组湖水DOM各组分的荧光强度均有不同程度的下降,而对照组中相关组分

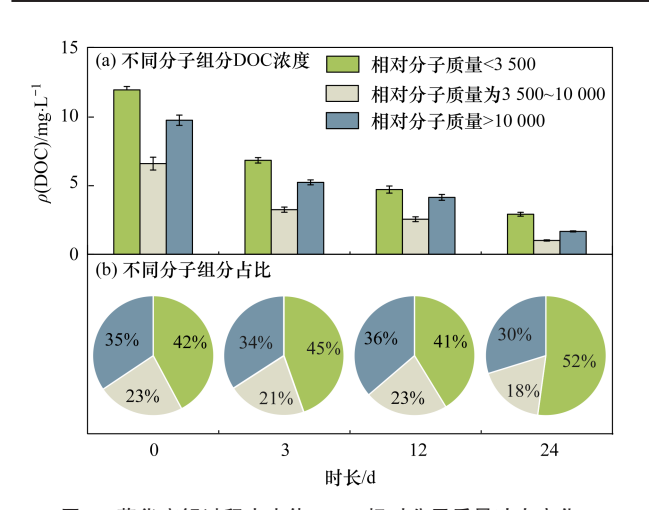


图 4 藻华腐解过程中水体 DOM 相对分子质量动态变化

Fig. 4 Dynamic changes in DOM relative molecular weight during algal decomposition

的荧光强度没有明显变化[图 5(a)]. 低加藻组 DOM 各组分荧光强度下降了 30%~60%[图 5(b)],中和高

加藻组各组分荧光强度减少量都超过70%[图5(c) 和 5(d)],这与 DOC 和 a254下降规律类似,表明藻源 DOM 的输入加剧了细菌对不同 DOM 组分的降解利 用.随着富营养化程度的增加,DOM各组分荧光强 度均显著升高.例如,与对照组相比,高加藻处理组 中络氨酸类蛋白质、色氨酸类蛋白质、类富里酸类 物质、溶解性微生物代谢产物和类腐殖酸类物质炭 光强度分别提高了 200%~1 689%、183%~1 309%、 203%~1 653%、129%~1 153% 和 210%~3 160% [图 5 (d)],说明藻华腐解会向水体中输入大量活性迥异 的有机质. 其中,类腐殖酸类物质荧光强度增量最 大,表明藻华腐解可以产生大量含氧官能团类腐殖 酸芳香性物质[42]. 随着藻华腐解的进行,此类物质的 减少量是其余4种组分总减少量的2倍,这与上述高 加藻组水体SUVA254随腐解时间逐渐降低的变化趋势 保持一致[图 3(b)].

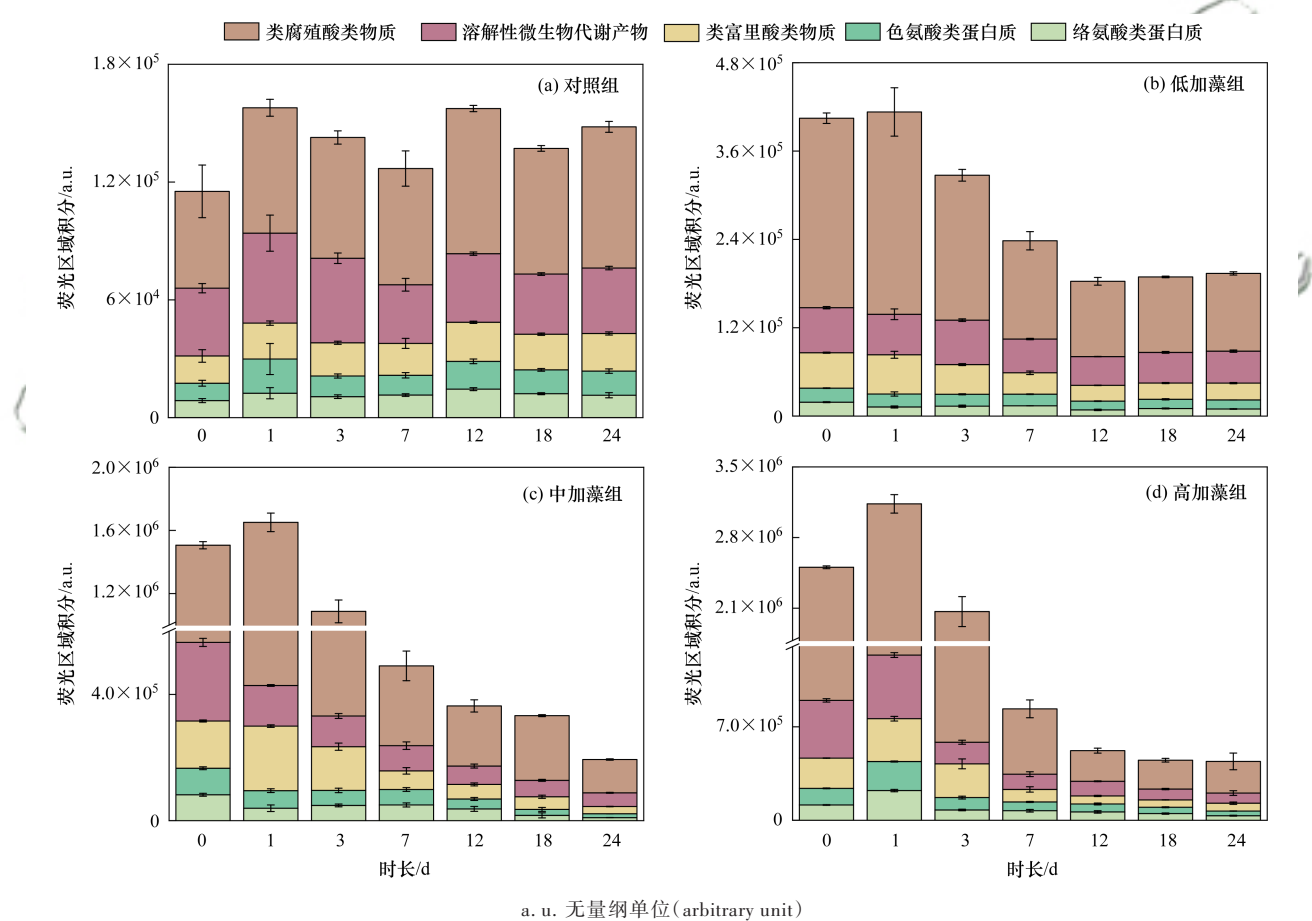


图 5 藻华腐解过程中水体 DOM 荧光组分强度的动态变化

Fig. 5 Dynamic changes in relative intensities of DOM fluorescent components during algal decomposition

2.4.2 DOM 分子组成变化

对藻华腐解过程中DOM进行FT-ICR MS分析,进一步从分子水平解析DOM组成的变化.从元素组成上来看,藻华腐解显著提高了水体DOM中生物可利用性高的CHON类化合物占比(表1).从分子组成上看,藻华腐解显著提高了水体DOM中相对分子质

量低的脂肪类和碳水化合物的比例,碳水化合物、脂质、类蛋白和不饱和烃的比例分别从 1.8%、3.1%、11.8% 和 8.7% 提高到 2.7%、5.3%、17.5% 和 14.1%(表1).从时间趋势上看,高加藻组水体 DOM 随着腐解的进行,脂质、类蛋白和不饱和烃等组分呈现降低趋势,而缩合烃、木质素和单宁酸的比例随着

腐解程度有所提高(表1),这表明生物活性高的类蛋白、类糖和脂质等组分可以在短期内参与微生物代谢和物质循环,而高O/C值的木质素和单宁酸难以被

生物降解^[28,47,48]. 对照组水体 DOM 分子组成整体变化不大,脂质、碳水化合物和类蛋白的比例略有降低,同时,木质素的比例略有增加(表1).

表 1 基于 FT-ICR MS 分析的藻华腐解过程中 DOM 各组分比例变化

| Table 1 Changes in percentages of DOM components during algal decomposition based on FT-ICR M | analveie |
|---|----------|

| 6H /\ | 高加藻组/% | | 对照组/% | | | |
|----------|--------|------|-------|------|------|------|
| 组分 | 1 d | 12 d | 24 d | 1 d | 12 d | 24 d |
| CHO类化合物 | 35.6 | 29.7 | 38.1 | 38.5 | 39.4 | 38.7 |
| CHON类化合物 | 47.7 | 51 | 42.9 | 43.5 | 41.5 | 42.7 |
| CHOS类化合物 | 16.7 | 19.3 | 19 | 18 | 19.1 | 18.6 |
| 碳水化合物 | 2.7 | 4.1 | 3.2 | 1.8 | 2.1 | 1.5 |
| 缩合烃 | 1.6 | 2.4 | 2.7 | 3.7 | 3.7 | 3.5 |
| 木质素 | 51.4 | 53.8 | 57 | 62.1 | 62.7 | 66.1 |
| 脂质 | 5.3 | 3.8 | 3.4 | 3.1 | 3 | 2.7 |
| 类蛋白 | 17.5 | 16 | 13.9 | 11.8 | 11.6 | 9.4 |
| 单宁酸 | 6.3 | 8.2 | 6.8 | 7.9 | 8.3 | 7.1 |
| 不饱和烃 | 14.1 | 10.6 | 11.6 | 8.7 | 7.7 | 8.9 |

DOM 分子的 van Krevelen 图进一步解析藻华腐 解期间水体 DOM 组成的变化. 高加藻组水体 DOM 中易降解组分主要为具有低 O/C 值的木质素(16%)、 不饱和烃(35%)和脂肪族化合物(脂质、蛋白质和碳 水化合物,共占比约44%[图6(a)],表明这些物质优 先被水体微生物消耗,其中占比25%的含氮和含硫 的不饱和分子很可能来源于藻类功能细胞成分的亚 基或片段,例如,核苷酸(DNA和RNA)、叶绿素Ⅱ和 藻蓝蛋白都含有杂环, H/C 值为 1~1.3⁴⁹. 而在腐解 后期消失的分子(代表半易降解组分)不仅数量比初 期少了一半以上,而且主要属于蛋白质和木质素(总 占比约70%)[图6(b)],表明当低O/C值的木质素和 不饱和烃被优先消耗完后,部分高 O/C 值的结构多糖 也可供细菌降解利用. 对照组易降解和半易降解的 组分主要属于蛋白质类和部分木质素,且这两种组 分仅占腐解期间所有 DOM 分子的 12% [图 6(e)和 6 (f)],说明对照组中可生物利用 DOM 比例很低,导致 腐解期间对照组水体 DOM 特性变化不大.

高加藻组和对照组水体中腐解全程都存在的DOM分子是微生物难利用的组分,这些分子绝大多数都属于木质素和单宁酸[图6(c)和6(g)]. 其中,多数物质落入富羧酸脂环分子(carboxyl-rich alicyclic molecules, CRAM)区域, CRAM是一类广泛分布于DOM中的惰性分子,其结构具有多样性且含有大量的带支链的脂环族化合物^[50]. CRAM可以在原核和真核生物中的膜成分和次级代谢产物中检测到,因此湖水中CRAM的来源应该包括藻类和一些水生植物细胞壁和膜成分的分解^[50]. 对照组水体DOM中难降解分子的比例(59%)高于加藻组(41%),说明藻源DOM为水体微生物提供了更多可利用的活性和半活

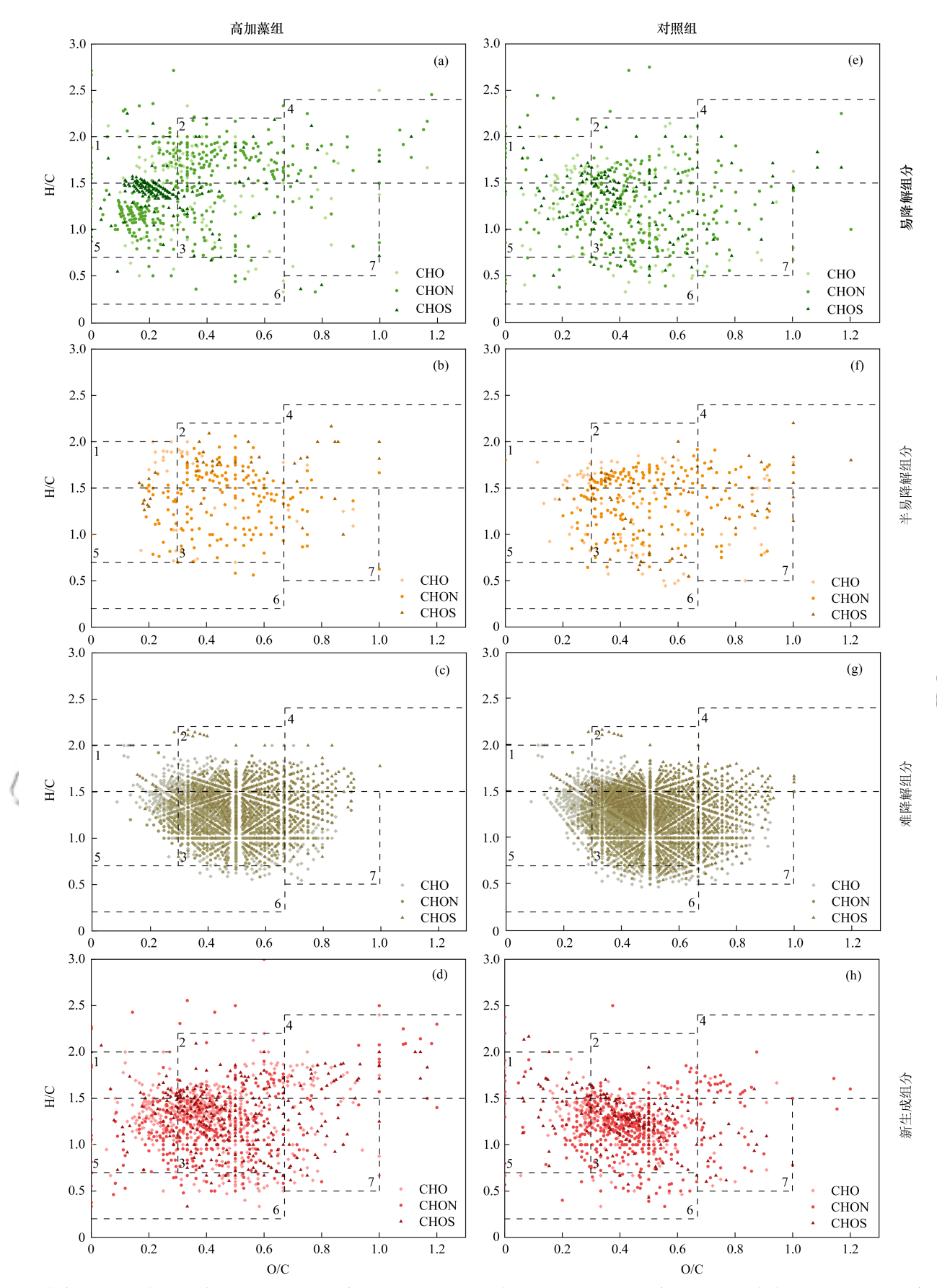
性组分,该比例也与基于 DOC 浓度变化的 G 模型拟合得到的结果保持一致[图 2(b)]. 此外,无论是高加藻组还是对照组,新生成的分子主要为木质素、缩合烃和具有高 O/C 值的单宁酸[图 6(d)和 6(h)],代表藻华腐解过程中微生物代谢生成的难降解分子,这可能也是导致对照组水体腐解过程中 DOM 腐殖化程度加重的原因.

2.5 藻华腐解引发的环境效应

2.5.1 水体细菌丰度和群落结构

藻华腐解产生的藻源 DOM输入显著增加了水体细菌的丰度.对照组水体细菌丰度在藻华腐解期间没有发生明显变化;而在高加藻组,腐解前期(1 d)水体细菌丰度相对于对照组就提高了一个数量级,并且随着藻华腐解的进行,细菌 DNA 丰度呈上升趋势[图 7(a)],从 1.14×10⁸ copies·mL⁻¹增加到 1.82×10⁸ copies·mL⁻¹,这是因为藻华腐解产生大量活性有机质,促进了微生物的增长繁殖.

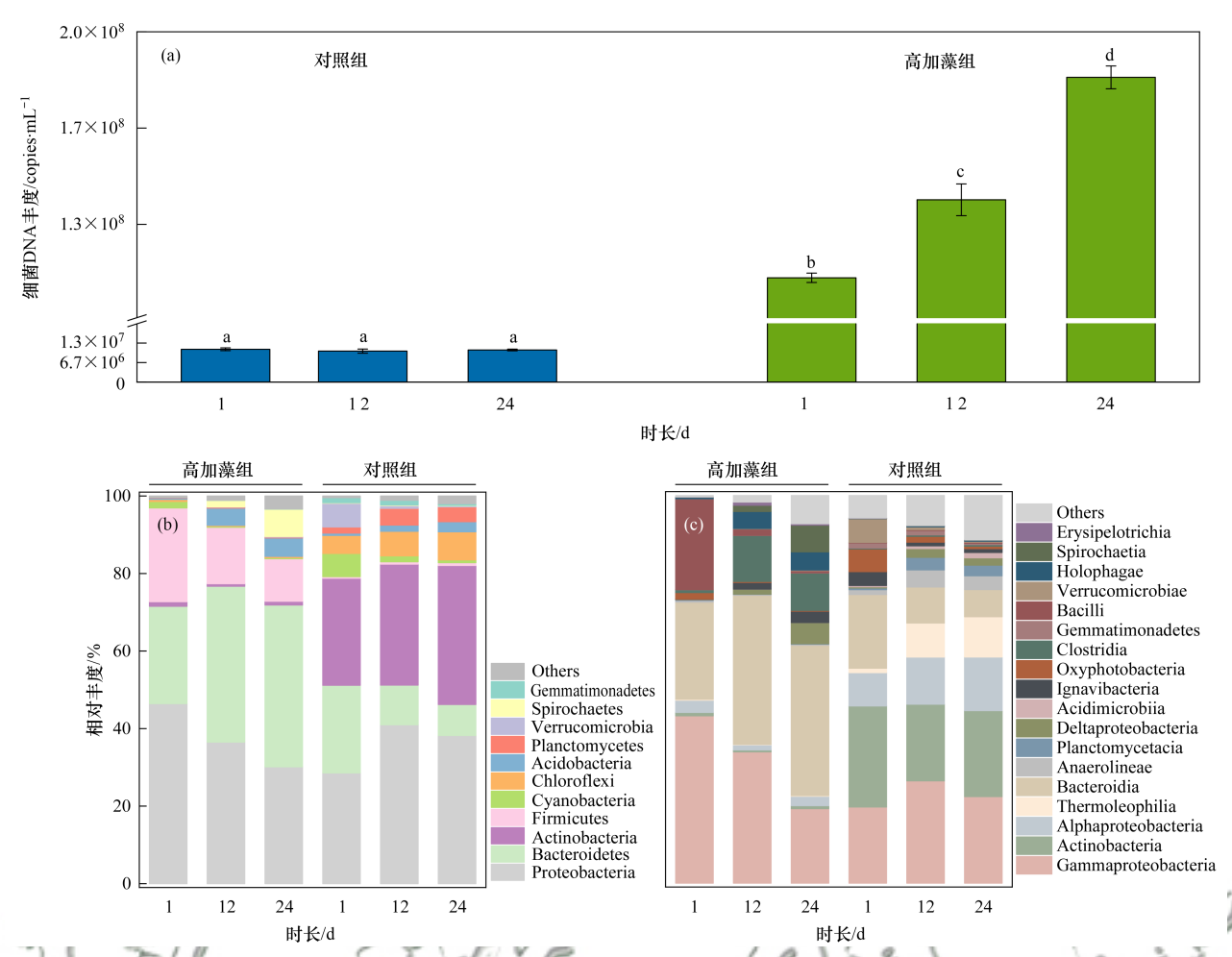
藻华腐解产生的藻源 DOM 显著改变了水体细菌的群落结构.对照组水体中细菌主要为变形菌门(Proteobacteria, 29%)和放线菌门(Actinobacteria, 28%),且随着藻华腐解的进行,两者分别增加到 38%和 36%;而拟杆菌门(Bacteroidetes)从初始 23%降低到 8%[图 7(b)].高加藻组腐解前期变形菌门、拟杆菌门和厚壁菌门(Firmicutes)为优势种类,其相对丰度分别为 46%、25%和 24%[图 7(b)],表明藻源 DOM的输入显著提升了它们的初始丰度[51].随着藻华腐解的进行,变形菌门和厚壁菌门的相对丰度降低到30%和 11%,而拟杆菌门相对丰度增加到 42%.此外,酸杆菌门(Acidobacteria)和螺旋体门(Spirochaetes)在腐解中后期的相对丰度也较高(1.65%~7.04%)[图 7



在藁华腐解过程中,仅在1d存在的分子表示为易降解组分,在1d和12d存在的分子表示为半易降解组分,全程都存在的分子表示为难降解组分,腐解2dd新出现的分子表示为新生成组分;DOM组分按H/C和O/C值分成7类,1~7分别指脂类、蛋白质类、木质素类、碳水化合物、不饱和烃类、缩合烃类和单宁酸类

图 6 藻华腐解过程中 DOM 组分 van Krevelen 图

 $Fig. \ \ 6 \quad van \ Krevelen \ diagram \ of the \ identified \ components \ in \ DOM \ during \ algal \ decomposition$



(a) 细菌丰度,(b) 门水平细菌群落组成,(c) 纲水平细菌群落组成;(a)中不同小写字母表示存在显著性差异 图 7 藻华腐解过程中水体细菌的丰度和群落组成的变化

Fig. 7 Variations in bacterial abundance and community composition during algal decomposition

(b)]. 在纲水平上,藻源 DOM 的输入显著提高了 γ -变形菌(Gammaproteobacteria)、芽孢杆菌(Bacilli)和拟杆菌(Bacteroidia)的相对丰度,随着藻华腐解的进行, γ -变形菌和芽孢杆菌的相对丰度逐渐降低,拟杆菌和梭菌(Clostridia)的相对丰度逐渐上升[图 7(c)]. 而对照组水体微生物的优势菌为 γ -变形菌、 α -变形菌(Alphaproteobacteria)和放线菌等,其中,拟杆菌和产氧光合细菌(Oxyphotobacteria)的相对丰度随腐解进行而明显降低,而嗜热油菌(Thermoleophilia)的相对丰度则从 1.1% 提高到 10.4% [图 7(c)].

本研究表明藻华腐解过程中拟杆菌门、厚壁菌门和变形菌门为优势菌,而这几类菌也是刚毛藻和蓝藻等腐解过程中的优势菌^[10,51]. 在水环境中,拟杆菌门通常与纤维素等多糖的分解有关,产生低聚糖或短链脂肪酸,例如乙酸和丙酸等有机酸,并能快速在植物表面定殖和生长^[52]. 在藻类腐解前期,黄杆菌(*Flavobacterium*)是拟杆菌门的优势属(占细菌总丰度的18%),前期研究认为黄杆菌在富营养化湖泊中具有重要的生态功能,可有效降解蛋白质和纤维

素等物质^[53]. 厚壁菌门是一个快速生长的富营养型菌(r策略),可以在富含活性碳底物的环境中快速分类增殖^[54],这也是富营养化水体中厚壁菌门的相对丰度要远高于对照组的原因[图7(b)]. 随着藻源DOM浓度、活性组分的降低和难降解分子的富集,厚壁菌门的相对丰度逐渐降低并被其它门属所取代. 其中, 芽孢杆菌在初期是优势菌群, 该类典型的反硝化细菌可以产生胞外纤维素酶, 与碳和氮的代谢密切相关^[55,56]. 随着腐解过程中溶解氧的消耗, 芽孢杆菌逐渐被厌氧的梭菌所取代, Xing等^[57]也发现在微囊藻水华厌氧降解过程中梭菌占据主导地位(高达72%), 而梭菌在 DOM 发酵过程中产生的小分子中间体(如乙酸盐和乙醇等)也可以被产甲烷古菌利用生成 CH₄, 影响富营养化湖泊水体温室气体的排放.

变形菌门可以分解植物凋落物中的顽固碳化合物,且与氮循环过程密切相关^[58,59].本研究中藻华腐解初期变形菌门中的优势属是气单胞菌属(Aeromonas),相对丰度为22.3%.气单胞菌在地表水

中很常见,具有广泛的外切酶(淀粉酶、蛋白酶、脂肪酶和核酸酶等)^[60],甚至可以高效分解有机污染化合物,如杀虫剂溴氰菊酯^[61].以上结果表明,由于可利用的养分类型和环境因子的变化,水体细菌群落随藻华腐解的进行发生明显的变化^[52].在此过程中细菌及其之间的共生作用又驱动了碳和氮等营养元素循环,如增强固碳、发酵、产甲烷和反硝化等过程,反过来又改变了它们的环境,导致湖泊营养水平的变化^[62].因此,需要进一步研究藻华腐解输入的DOM与微生物群落之间的相互作用机制,包括对微生物相关功能基因的预测分析,为湖泊藻华暴发的治理提供理论依据.

2.5.2 温室气体排放

随着藻华腐解的进行,各加藻组水体 CO_2 累积产量逐渐增加,在12 d达到峰值趋势稳定;而对照组水体的 CO_2 累积产量保持相对不变.从整个腐解过程来看,对照组、低、中和高加藻处理组 CO_2 累积产量的平均值分别为25.4、50.9、105.4和149.7 $mol\cdot L^{-1}$

[图 8(a)],表明藻源 DOM 输入可以显著加剧水体 CO,释放,且藻密度越高,水体CO,产量也越高. 齐天 赐等[63]研究也发现巢湖表层水体 CO,浓度与溶解性 有机碳浓度呈显著正相关. CH。生成对藻源 DOM 输 入的响应要小于CO,,其中,低加藻组和中加藻组水 体的CH₄累积产量与对照组没有明显差异,并且随 着腐解时间逐渐降低. 仅高加藻处理组水体 CH。累 积产量有所上升,在腐解7d达到峰值并趋于稳定; 高加藻组水体 CH。累积产量平均值为 37.1 mmol·L⁻¹, 比对照组高 1.3 倍 [图 8(b)], 说明湖泊重度藻华堆 积区是CH,重要的排放源[14,64].同时,进一步研究发 现,不同富营养化水体CO,产量与湖水DOM光学指 标 a_{54} 有较好的正相关关系 [图 8(c)], 水体 CH_a 产量 与 a254 也存在类似的正相关关系[图 8(d)]. 考虑到水 体 4254 指标测定的便捷性以及与湖泊富营养化状态 的良好关联性[65],这为预测全球尺度的不同营养状 态湖泊温室气体排放及贡献提供了理论支撑和数据 基础.

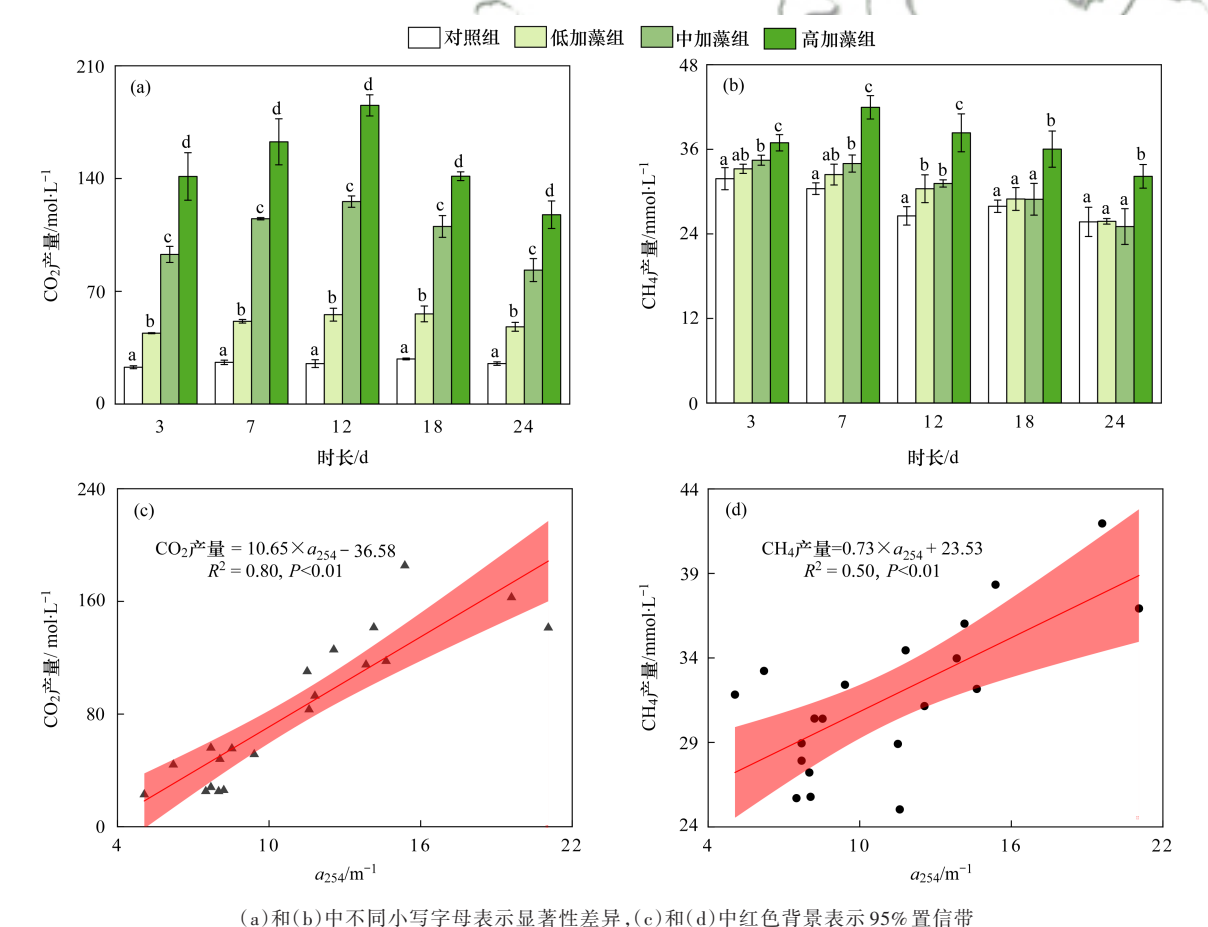
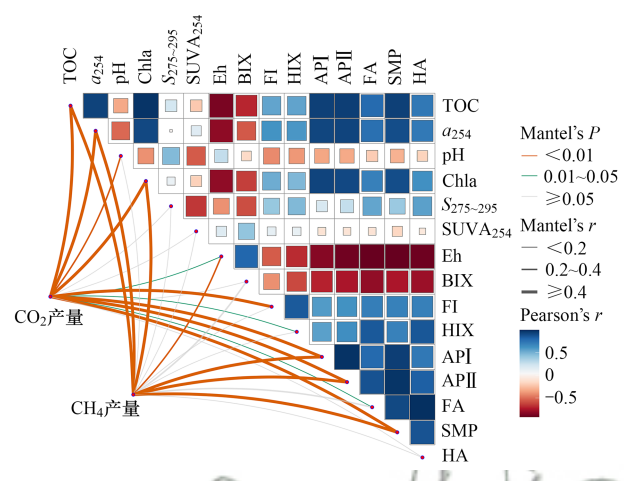


图 8 温室气体 ${
m CO_2}$ 和 ${
m CH_4}$ 的产量及其与 a_{254} 之间的关系 Fig. 8 Greenhouse gas production of ${
m CO_2}$ and ${
m CH_4}$ and its relationships to a_{254}

同时,进一步开展 Mantel 检验发现不同营养状态湖泊水体的 DOC、叶绿素 a、a₂₅₄、络氨酸类物质、色氨酸类物质和溶解性微生物代谢产物显著影响湖泊

水体温室气体 CO_2 和 CH_4 的产量(Mantel's P<0.01, Mantel's r>0.4),表明 CO_2 和 CH_4 的产生与生物可利用 度高的 DOM 组分密切相关(图 9). 在富营养湖泊中,

藻源 DOM 的输入显著提高了这部分物质的量,从而提高了产甲烷菌等微生物的数量^[16,66],进而促进了DOM 的矿化过程,导致温室气体产量增加.藻华腐解促进 CO₂产生的另一个可能原因是 pH值的变化(图 9,与 pH显著相关, Mantel's P<0.05),藻源 DOM的输入造成水体 pH值下降,改变水体中碳酸盐平衡,导致游离 CO₂相对于碳酸根和碳酸氢根的浓度增加^[67].因此,富营养湖泊藻华腐解会增加温室气体的排放^[15,16].



API、APII、FA、SMP和HA是基于三维荧光光谱的荧光区域积分方法解析的5类物质,分别为络氨酸类、色氨酸类蛋白质、类富里酸类、溶解性微生物代谢产物和类腐殖酸类组分;BIX、FI和HIX分别表示生物源指数^[68]、荧光指数^[69]和腐殖化指数^[70];热图的颜色梯度表示皮尔逊等级相关系数(对应于Pearson's r),正值越大(深蓝色)表示正相关性越强,负值越大(深红色)表示负相关性越强;两种温室气体产量使用Mantel分析与每个理化性质和光谱指数相关联,连线的宽窄和颜色对应于Mantel's r的统计量和显著性P值

图 9 Mental 分析 CO₂和 CH₄产量与水体理化性质及 DOM 光谱指 数的相关关系

Fig. 9 Correlation between CO₂ and CH₄ production and physicochemical properties of water and DOM spectral indices by Mental tests

此外,Zhou等^[71]发现太湖溶解 CH₄浓度与表示陆地腐殖物质的 C2-C4荧光峰和 DOM 的芳香性呈显著正相关,认为陆源类腐殖质的输入可能在促进富营养湖泊 CH₄的生产释放方面超过藻华. 因此未来需要重点关注并探究不同来源和组成的有机质对温室气体排放的贡献及机制. 同时,预计未来大气 CO₂浓度升高和变暖场景下湖泊营养负荷的增加,未来湖泊藻华可能进一步扩大并加剧^[72,73],变暖和富营养化之间的协同作用可能会成比例地增加 CO₂和 CH₄产量与排放导致气候变暖加速,起到正反馈的作用^[74],因此,需要进一步探索湖泊富营养化和气候变暖之间的关系,这对准确预测未来气候变化和富营养化情景下湖泊在全球温室气体收支中的作用至关重要.

需要注意的是,本研究结果主要是基于室内微 宇宙封闭培养体系获取的;而在实际原位真实条件 下,多种环境因素会影响 DOM 的环境行为和生物有 效性. 例如,本研究主要关注考察藻华腐解过程中 DOM 的生物降解过程,光降解对 DOM 组分的变化并 未纳入考虑. 这是因为在水体富营养化严重的区域, 藻华堆积会导致水体透明度显著下降[75],但真实条 件下光降解与生物降解对DOM变化相对贡献仍应予 以关注.此外,发生富营养化的湖口区域一般还会接 收陆源河流输入,因而此区域水体 DOM 主要来自于 多种来源 DOM 的混合. 而最新研究发现,不同来源 DOM 不同比例的混合会显著影响 DOM 的生物活性 (包括生物降解能力、光降解能力、自由基产率和氧 化还原能力等),且呈现明显的非线性变化[76],这说 明真实场景中富营养化湖泊中水体DOM的变化和环 境效应可能更为复杂. 如何从室内模拟结果拓展到 野外原位真实条件下 DOM 的动态变化,还需要在后 续研究中进一步关注.

3 结论

- (1)随着藻华腐解的进行,水体 DOC浓度呈现出指数衰减的趋势且降解速率先快后慢.水体 DOC和 a_{254} 结果指示藻华腐解显著提高水体 DOM 总量,而 G模型发现藻华腐解显著提高了水体 DOM 的生物有效性,其中水体 DOM 易降解和半易降解组分占比从 38% 提高到 65%.
- (2)藻华腐解过程中水体 S₂₇₅₋₂₉₅逐渐降低,水体 DOM小、中和大分子组分浓度均呈下降趋势,但水体 DOM的相对分子质量逐渐增大.
- (3)藻源 DOM 输入增大了水体 DOM 各荧光组分的强度,并随藻华腐解的进行而逐渐降低. 在分子水平上,藻华腐解过程中不饱和烃和脂肪族化合物(脂质、蛋白质和碳水化合物)优先被微生物利用,并生成木质素、缩合烃和具有高 O/C 值的单宁酸等惰性分子.
- (4)藻源 DOM 的输入显著提高了水体细菌的丰度并改变了细菌群落,使细菌优势菌门为变形菌门、拟杆菌门和厚壁菌门. 不同藻华腐解阶段细菌群落有明显差异,优势种从前期的变形菌门变为拟杆菌门. 此外,富营养湖泊藻华腐解也会显著增加温室气体 CO₂和 CH₄的排放,且湖水 DOM 光学指标 a_{254} 与 CO₂和 CH₄产量均有良好的正相关关系.

参考文献:

- [1] Wang S L, Li J S, Zhang B, et al. Trophic state assessment of global inland waters using a MODIS-derived Forel-Ule index [J]. Remote Sensing of Environment, 2018, 217: 444-460.
- [2] Huisman J, Codd G A, Paerl H W, et al. Cyanobacterial blooms

- [J]. Nature Reviews Microbiology, 2018, 16(8): 471-483.
- [3] Hou X J, Feng L, Dai Y H, et al. Global mapping reveals increase in lacustrine algal blooms over the past decade [J]. Nature Geoscience, 2022, 15(2): 130-134.
- [4] 朱金杰,邹楠,钟寰,等.富营养化巢湖沉积物溶解性有机质 光谱时空分布特征及其环境意义[J].环境科学学报,2020, **40**(7):2528-2538.
 - Zhu J J, Zou N, Zhong H, *et al.* Spatiotemporal characteristics and its environmental application of dissolved organic matter (DOM) in sediments from Chaohu Lake, a eutrophic lake [J]. Acta Scientiae Circumstantiae, 2020, **40**(7): 2528-2538.
- [5] Knoll LB, Vanni MJ, Renwick WH, et al. Temperate reservoirs are large carbon sinks and small CO₂ sources: Results from highresolution carbon budgets [J]. Global Biogeochemical Cycles, 2013, 27(1): 52-64.
- [6] Villacorte L O, Ekowati Y, Neu T R, et al. Characterisation of algal organic matter produced by bloom-forming marine and freshwater algae[J]. Water Research, 2015, 73: 216-230.
- [7] Kellerman A M, Dittmar T, Kothawala D N, et al. Chemodiversity of dissolved organic matter in lakes driven by climate and hydrology [J]. Nature Communications, 2014, 5, doi: 10.1038/ ncomms4804.
- [8] 庞佳丽, 许燕红, 何毓新, 等. 太湖梅梁湾藻华暴发消退-周期表层水体溶解性有机质分子特征[J]. 湖泊科学, 2020, 32 (6): 1599-1609.
 - Pang J L, Xu Y H, He Y X, et al. Molecular characteristics of surface dissolved organic matter in Meiliang Bay of Lake Taihu over the algal blooming disappearance cycle [J]. Journal of Lake Sciences, 2020, 32(6): 1599-1609.
- [9] 李翔,李致春,汪旋,等.蓝藻衰亡过程中上覆水溶解性有机 物变化特征[J].环境科学,2021,42(7):3281-3290.
 - Li X, Li Z C, Wang X, et al. Characteristics of dissolved organic matter in overlying water during algal bloom decay $[\mathtt{J}]$. Environmental Science, 2021, 42(7): 3281-3290.
- [10] 王玉明, 周盼盼, 周维成, 等. 刚毛藻腐烂过程中溶解性有机物的释放和细菌群落的变化[J]. 水生生物学报, 2023, 47 (1): 80-91.
 - Wang Y M, Zhou P P, Zhou W C, et al. Dissolved organic matter release and bacterial community shifts during the decomposition of *Cladophora* [J]. Acta Hydrobiologica Sinica, 2023, 47 (1): 80-91.
- [11] 井晨,单保庆,李思敏,等.夏季白洋淀有色溶解性有机质(CDOM)光学特性及其来源分析[J].环境科学学报,2022,42(10):342-352.
 - Jing C, Shan B Q, Li S M, et al. Spatial differences of optical properties of CDOM and their source apportionment in Baiyangdian Lake in Summer [J]. Acta Scientiae Circumstantiae, 2022, 42 (10): 342-352
- [12] Lin H, Xia X H, Bi S Q, et al. Quantifying bioavailability of pyrene associated with dissolved organic matter of various molecular weights to Daphnia magna [J]. Environmental Science & Technology, 2018, 52(2): 644-653.
- [13] 李雅妮,徐华成,江和龙.鄱阳湖水体溶解有机质分子量分布、荧光特征及对重金属分布的影响[J].湖泊科学,2020,32 (4):1029-1040.
 - Li Y N, Xu H C, Jiang H L. Molecular weight distribution, fluorescence characteristics of dissolved organic matter and their effect on the distribution of heavy metals of Lake Poyang [J]. Journal of Lake Sciences, 2020, 32(4): 1029-1040.
- [14] 闫兴成,张重乾,季铭,等.富营养化湖泊夏季表层水体温室

- 气体浓度及其影响因素[J]. 湖泊科学, 2018, 30(5): 1420-1428.
- Yan X C, Zhang C Q, Ji M, et al. Concentration of dissolved greenhouse gas and its influence factors in the summer surface water of eutrophic lake [J]. Journal of Lake Sciences, 2018, 30 (5): 1420-1428.
- [15] Xiao Q T, Xu X F, Duan H T, et al. Eutrophic Lake Taihu as a significant CO₂ source during 2000-2015 [J]. Water Research, 2020, 170, doi: 10.1016/j. watres. 2019. 115331.
- [16] Zhou C Q, Peng Y, Yu M T, et al. Severe cyanobacteria accumulation potentially induces methylotrophic methane producing pathway in eutrophic lakes [J]. Environmental Pollution, 2022, 292, doi: 10.1016/j.envpol.2021.118443.
- [17] 荀凡, 杜先, 陈新芳, 等. 秋季连续打捞蓝藻对水-气界面温室气体通量的影响[J]. 湖泊科学, 2020, **32**(6): 1707-1722.

 Xun F, Du X, Chen X F, et al. Effects of continuous cyanobacterial salvaging on greenhouse gas flux on water-air interface in autumn[J]. Journal of Lake Sciences, 2020, **32**(6): 1707-1722
- [18] Fang T, Lu W X, Li J, et al. Levels and risk assessment of metals in sediment and fish from Chaohu Lake, Anhui province, China
 [J]. Environmental Science and Pollution Research, 2017, 24
 (18): 15390-15400.
- [19] 张民, 史小丽, 阳振, 等. 2012-2018 年巢湖水质变化趋势分析和蓝藻防控建议[J]. 湖泊科学, 2020, **32**(1): 11-20. Zhang M, Shi X L, Yang Z, *et al.* The variation of water quality from 2012 to 2018 in Lake Chaohu and the mitigating strategy on cyanobacterial blooms [J]. Journal of Lake Sciences, 2020, **32** (1): 11-20.
- [20] 吴转璋,朱超,唐萍,等.巢湖湖区浮游植物群落与水质因子相关性分析[J]. 生物学杂志, 2023, **40**(1): 79-84. Wu Z Z, Zhu C, Tang P, et al. Correlation analysis of phytoplankton community and water quality factors in Chaohu Lake [J]. Journal of Biology, 2023, **40**(1): 79-84.
- [21] 殷长秦,王体健,石春娥,等.巢湖流域典型站点的风场特征分析[J]. 大气科学学报, 2012, **35**(2): 249-256. Yin C Q, Wang T J, Shi J E, et al. Analysis on wind characteristics at typical sites over Chaohu Lake basin [J]. Transactions of Atmospheric Sciences, 2012, **35**(2): 249-256.
- [22] Jiang Y J, He W, Liu W X, et al. The seasonal and spatial variations of phytoplankton community and their correlation with environmental factors in a large eutrophic Chinese lake (Lake Chaohu)[J]. Ecological Indicators, 2014, 40: 58-67.
- [23] Tao Y Q, Xue B, Zhong J C, et al. Influences of pH, heavy metals and phosphate and their co-influences on the sorption of pentachlorophenol on cyanobacterial biomass [J]. Water Research, 2012, 46(11): 3585-3594.
- [24] Yu G L, Jiang Y G, Song G F, et al. Variation of Microcystis and microcystins coupling nitrogen and phosphorus nutrients in Lake Erhai, a drinking-water source in Southwest Plateau, China [J]. Environmental Science and Pollution Research, 2014, 21 (16): 9887-9898.
- [25] 罗宜富,李磊,李秋华,等.阿哈水库叶绿素 a 时空分布特征 及其与藻类、环境因子的关系[J].环境科学,2017,38(10):4151-4159.
 - Luo Y F, Li L, Li Q H, et al. Spatial and temporal distribution of chlorophyll a and its relationship to algae and environmental factors in Aha Reservoir [J]. Environmental Science, 2017, 38 (10): 4151-4159.
- [26] 李柯, 关保华, 刘正文. 蓝藻碎屑分解速率及氮磷释放形态

(6): 919-925.

- 的实验分析[J]. 湖泊科学, 2011, **23**(6): 919-925. Li K, Guan B H, Liu Z W. Experiments on decomposition rate and release forms of nitrogen and phosphorus from the decomposing cyanobacterial detritus [J]. Journal of Lake Sciences, 2011, **23**
- [27] Westrich J T, Berner R A. The role of sedimentary organic matter in bacterial sulfate reduction: The G model tested [J]. Limnology and Oceanography, 1984, 29(2): 236-249.
- [28] Bai L L, Cao C C, Wang C H, et al. Toward quantitative understanding of the bioavailability of dissolved organic matter in freshwater lake during cyanobacteria blooming [J]. Environmental Science & Technology, 2017, 51(11): 6018-6026.
- [29] Lei P, Zhang J, Zhu J J, et al. Algal organic matter drives methanogen-mediated methylmercury production in water from eutrophic shallow lakes[J]. Environmental Science & Technology, 2021, 55(15): 10811-10820.
- [30] Shang Y X, Song K S, Jacinthe P A, et al. Characterization of CDOM in reservoirs and its linkage to trophic status assessment across China using spectroscopic analysis [J]. Journal of Hydrology, 2019, 576: 1-11.
- [31] 宁成武,包妍,黄涛,等.夏季巢湖入湖河流溶解性有机质来源及其空间变化[J]. 环境科学,2021,42(8):3743-3752.
 Ning C W, Bao Y, Huang T, et al. Sources and spatial variation of dissolved organic matter in summer water of inflow rivers along Chaohu Lake watershed [J]. Environmental Science, 2021, 42 (8):3743-3752.
- [32] 罗燕清, 万智巍, 晏彩霞, 等. 鄱阳湖沉积物溶解性有机质光谱特征[J]. 环境科学, 2022, **43**(2): 847-858.

 Luo Y Q, Wan Z W, Yan C X, et al. Spectral characteristics of dissolved organic matter in sediments from Poyang Lake [J]. Environmental Science, 2022, **43**(2): 847-858.
- [33] Chen G, Lin C, Chen L, et al. Effect of size-fractionation dissolved organic matter on the mobility of prometryne in soil [J]. Chemosphere, 2010, 79(11): 1046-1055.
- [34] Chen W. Westerhoff P, Leenheer J A, et al. Fluorescence excitation - Emission matrix regional integration to quantify spectra for dissolved organic matter [J]. Environmental Science & Technology, 2003, 37(24): 5701-5710.
- [35] Hao Z N, Yin Y G, Cao D, et al. Probing and comparing the photobromination and photoiodination of dissolved organic matter by using ultra-high-resolution mass spectrometry [J]. Environmental Science & Technology, 2017, 51 (10): 5464-5472.
- [36] Li X Z, Rui J P, Mao Y J, et al. Dynamics of the bacterial community structure in the rhizosphere of a maize cultivar[J]. Soil Biology and Biochemistry, 2014, 68: 392-401.
- [37] Caporaso J G, Kuczynski J, Stombaugh J, et al. QIIME allows analysis of high-throughput community sequencing data [J]. Nature Methods, 2010, 7(5): 335-336.
- [38] Blum P W, Hershey A E, Tsui M T K, et al. Methylmercury and methane production potentials in North Carolina Piedmont stream sediments[J]. Biogeochemistry, 2018, 137(1): 181-195.
- [39] 高小丰, 吴莹, 朱卓毅. 长江口外浮游植物死亡释放溶解有机质的降解及其溶氧消耗[J]. 海洋与湖沼, 2015, 46(5): 1010-1017.

 Gao X F, Wu Y, Zhu Z Y. Degradation of dissolved organic matter from dead phytoplankton off the Changjiang river estuary and the resulting dissolved oxygen consumption [J]. Oceanologia et Limnologia Sinica, 2015, 46(5): 1010-1017.
- [40] Chen M S, Ding S M, Chen X, et al. Mechanisms driving

- phosphorus release during algal blooms based on hourly changes in iron and phosphorus concentrations in sediments [J]. Water Research, 2018, 133: 153-164.
- [41] Tang Y, Zhang M Y, Sun G X, et al. Impact of eutrophication on arsenic cycling in freshwaters [J]. Water Research, 2019, 150: 191-199.
- [42] Ren D, Huang B, Yang B Q, et al. Photobleaching alters the photochemical and biological reactivity of humic acid towards 17α -ethynylestradiol[J]. Environmental Pollution, 2017, 220: 1386-1393.
- [43] 姚佳, 杨飞, 张毅敏, 等. 黑藻叶、茎腐解释放溶解性有机物的特性[J]. 中国环境科学, 2017, 37(11): 4294-4303.

 Yao J, Yang F, Zhang Y M, et al. Research on the dissolved organic matter of *Hydrilla verticillata*'s leaf and stem decomposition
 [J]. China Environmental Science, 2017, 37(11): 4294-4303.
- [44] Balch J, Guéguen C. Effects of molecular weight on the diffusion coefficient of aquatic dissolved organic matter and humic substances [J]. Chemosphere, 2015, 119: 498-503.
- [45] 张国正,赵敏,李勇,等. 水生植物腐解过程中溶解性有机质的释放特征[J]. 中国给水排水,2022,38(19):93-101.

 Zhang G Z, Zhao M, Li Y, et al. Release characteristics of dissolved organic matter during decomposition of aquatic plants
 [J]. China Water & Wastewater, 2022, 38(19):93-101.
- [46] 沈烁,王育来,杨长明,等.南淝河不同排口表层沉积物DOM光譜特征[J].中国环境科学,2014,34(9):2351-2361. Shen S, Wang Y L, Yang C M, et al. Spectral characteristic of dissolved organic matter (DOM) in the surface sediments from different discharging points along the Nanfei River in Hefei City, Anhui Province[J]. China Environmental Science, 2014, 34(9): 2351-2361.
- [47] Austin A T, Ballaré C L. Dual role of lignin in plant litter decomposition in terrestrial ecosystems [J]. Proceedings of the National Academy of Sciences of the United States of America, 2010, 107(10): 4618-4622.
- [48] Zhou L, Zhou Y Q, Tang X M, et al. Resource aromaticity affects bacterial community successions in response to different sources of dissolved organic matter [J]. Water Research, 2021, 190, doi: 10.1016/j. watres. 2020. 116776.
- [49] Bittar T B, Vieira A A H, Stubbins A, et al. Competition between photochemical and biological degradation of dissolved organic matter from the cyanobacteria Microcystis aeruginosa [J]. Limnology and Oceanography, 2015, 60(4): 1172-1194.
- [50] Hertkorn N, Benner R, Frommberger M, et al. Characterization of a major refractory component of marine dissolved organic matter [J]. Geochimica et Cosmochimica Acta, 2006, 70(12): 2990-3010
- [51] 刘新, 王友权, 徐华成, 等. 富营养化湖泊藻型及草型区微生物群落对有色可溶有机物组成的影响[J]. 生态环境学报, 2017, 26(8): 1403-1409.

 Liu X, Wang Y Q, Xu H C, et al. Effects of microbial communities on the composition of algae-derived and grass-derived chromophoric dissolved organic matter in Eutrophic Lake [J].
- [52] Han B, Addo F G, Mu X Y, et al. Epiphytic bacterial community shift drives the nutrient cycle during *Potamogeton malaianus* decomposition [J]. Chemosphere, 2019, **236**, doi: 10.1016/j. chemosphere. 2019. 06. 223.

Ecology and Environmental Sciences, 2017, 26(8): 1403-1409.

53] Eiler A, Bertilsson S. *Flavobacteria* blooms in four eutrophic lakes: Linking population dynamics of freshwater bacterioplankton to resource availability [J]. Applied and Environmental

- Microbiology, 2007, 73(11): 3511-3518.
- [54] Zhao B Y, Xing P, Wu Q L. Microbes participated in macrophyte leaf litters decomposition in freshwater habitat [J]. Fems Microbiology Ecology, 2017, 93 (10), doi: 10.1093/femsec/ fix108.
- [55] Wang P F, Wang X, Wang C, et al. Shift in bacterioplankton diversity and structure: Influence of anthropogenic disturbances along the Yarlung Tsangpo River on the Tibetan Plateau, China [J]. Scientific Reports, 2017, 7, doi: 10.1038/s41598-017-12893-4.
- [56] Akhtar N, Sharma A, Deka D, et al. Characterization of cellulase producing Bacillus sp. for effective degradation of leaf litter biomass
 [J]. Environmental Progress & Sustainable Energy, 2013, 32
 (4): 1195-1201.
- [57] Xing P, Guo L, Tian W, et al. Novel Clostridium populations involved in the anaerobic degradation of Microcystis blooms [J]. The ISME Journal, 2011, 5(5): 792-800.
- [58] Wang C, Gao H, Chen J, et al. Long-term effects of decabromodiphenyl ether on denitrification in eutrophic lake sediments: Different sensitivity of six-type denitrifying bacteria [J]. Science of the Total Environment, 2021, 774, doi: 10.1016/ j. scitotenv. 2021. 145147.
- [59] Melo-Nascimento A O d S, Treumann C, Neves C, et al. Functional characterization of ligninolytic Klebsiella spp. strains associated with soil and freshwater [J]. Archives of Microbiology, 2018, 200(8): 1267-1278.
- [60] Pemberton J M, Kidd S P, Schmidt R. Secreted enzymes of Aeromonas[J]. Fems Microbiology Letters, 1997, 152(1): 1-10.
- [61] Kalwasińska A, Kęsy J, Wilk I, et al. Neustonic versus epiphytic bacteria of eutrophic lake and their biodegradation ability on deltamethrin[J]. Biodegradation, 2011, 22(4): 699-707.
- [62] Wang Y, Guo M L, Li X L, et al. Shifts in microbial communities in shallow lakes depending on trophic states: Feasibility as an evaluation index for eutrophication [J]. Ecological Indicators, 2022, 136, doi: 10.1016/j.ecolind.2022.108691.
- [63] 齐天赐, 肖启涛, 苗雨青, 等. 巢湖水体二氧化碳浓度时空分布特征及其水-气交换通量[J]. 湖泊科学, 2019, **31**(3): 766-778.
 - Qi T C, Xiao Q T, Miao Y Q, et al. Temporal and spatial variation of carbon dioxide concentration and its exchange fluxes in Lake Chaohu[J]. Journal of Lake Sciences, 2019, 31(3): 766-778.
- [64] Xiao Q T, Zhang M, Hu Z H, et al. Spatial variations of methane emission in a large shallow eutrophic lake in subtropical climate [J]. Journal of Geophysical Research: Biogeosciences, 2017, 122 (7): 1597-1614.
- [65] Zhang Y L, Zhou Y Q, Shi K, et al. Optical properties and composition changes in chromophoric dissolved organic matter along trophic gradients: Implications for monitoring and assessing lake eutrophication[J]. Water Research, 2018, 131: 255-263.
- [66] 胡万婷, 唐千, 孙伟, 等. 水体中蓝藻水华分解产甲烷动态过

- 程研究[J]. 中国环境科学, 2017, 37(2): 702-710.
- Hu W T, Tang Q, Sun W, et al. Dissolved methane dynamics during the degradation of organic matter derived from cyanobacterial bloom[J]. China Environmental Science, 2017, 37 (2): 702-710
- [67] Nydahl A C, Wallin M B, Tranvik L J, et al. Colored organic matter increases CO₂ in meso-eutrophic lake water through altered light climate and acidity[J]. Limnology and Oceanography, 2019, 64(2): 744-756.
- [68] 吕伟伟,姚昕,张保华.太湖北部湖区春、冬季节天然有机质的荧光特征及环境意义[J]. 环境科学,2018,39(8):3601-3613.
 - Lü W W, Yao X, Zhang B H. Fluorescence characteristics and environmental significance of organic matter in the northern part of Lake Taihu in spring and winter [J]. Environmental Science, 2018, 39(8): 3601-3613.
- [69] McKnight D M, Boyer E W, Westerhoff P K, et al. Spectrofluorometric characterization of dissolved organic matter for indication of precursor organic material and aromaticity [J]. Limnology and Oceanography, 2001, 46(1): 38-48.
- [70] 张巧颖, 孙伟, 杜瑛珣, 等. 太湖蓝藻胞内有机质的微生物降解[J]. 环境科学, 2021, **42**(4): 1870-1878.

 Zhang Q Y, Sun W, Du Y X, et al. Biodegradation of algaederived organic matter (I-DOM) from Lake Taihu [J]. Environmental Science, 2021, **42**(4): 1870-1878.
- [71] Zhou Y Q, Xiao Q T, Yao X L, et al. Accumulation of terrestrial dissolved organic matter potentially enhances dissolved methane levels in eutrophic Lake Taihu, China [J]. Environmental Science & Technology, 2018, 52(18): 10297-10306.
- [72] Visser P M, Verspagen J M H, Sandrini G, et al. How rising CO₂ and global warming may stimulate harmful cyanobacterial blooms[J], Harmful Algae, 2016, 54: 145-159.
- [73] Ma J J, Wang P F, Wang X, et al. Cyanobacteria in eutrophic waters benefit from rising atmospheric CO₂ concentrations [J]. Science of the Total Environment, 2019, 691; 1144-1154.
- [74] Yan X C, Xu X G, Wang M Y, et al. Climate warming and cyanobacteria blooms: Looks at their relationships from a new perspective[J]. Water Research, 2017, 125: 449-457.
- [75] 李春华, 叶春, 张咏, 等. 太湖湖滨带藻密度与水质、风作用的分布特征及相关关系[J]. 环境科学研究, 2013, **26**(12): 1290-1300.
 - Li C H, Ye C, Zhang Y, et al. Temporal and spatial distribution of algal density and its relationship with water quality and wind factor in the littoral zone of Lake Taihu [J]. Research of Environmental Sciences, 2013, 26(12): 1290-1300.
- [76] Zhang S Q, Yin Y G, Yang P J, et al. Using the end-member mixing model to evaluate biogeochemical reactivities of dissolved organic matter (DOM): autochthonous versus allochthonous origins [J]. Water Research, 2023, 232, doi: 10.1016/j. watres. 2023. 119644.

HUANJING KEXUE

Environmental Science (monthly)

Vol. 45 No. 3 Mar. 15, 2024

CONTENTS

| Research on the Evaluation Method and Application of Provincial Differentiated Carbon Peaking in China Evolution and Influencing Factors of Spatial Correlation Network of Construction Carbon Emission in China from the Perspective of Who Efficiency Characteristics and Evolution Patterns of Urban Carbon Metabolism of Production-Living-Ecological Space in Beijing-Tianjin | le Life CycleREN Xiao-song, LI Zhao-rui(1243) |
|---|---|
| Assessment of CO ₂ Co-benefits of Air Pollution Control Policies in Taiyuan's 14th Five-Year Plan Coordinated Control of Carbon Emission Reduction and Air Quality Improvement in the Industrial Sector in Hunan Province | XIAO Ting-yu, SHU Yun, LI hui, et al. (1265) LI Nan, LIU Wan-wan, ZHU Shu-han, et al. (1274) |
| Coal Control and Carbon Reduction Path in Henan Province's Power Industry Under the Carbon Peak and Neutralization Target: A Medi | ·······ZHANG Jing, YANG Meng, ZHANG Wei, et al. (1285) |
| Environmental Benefits of Pollution and Carbon Reduction by Bus Fleet Electrification in Zhengzhou Multi-scale Driving Mechanism of Urbanization on PM _{2.5} Concentration in Urban Agglomeration in the Middle Reaches of the Yangtze R "Z | liver |
| Analysis of Spatio-temporal Distribution Characteristics and Influencing Factors of PM _{2.5} Concentration in Urban Agglomerations on the | Northern Slone of Tianshan Mountains |
| Spatial Variability and Source Apportionment of PM _{2.5} Carbon Components in Tianjin Characteristics and Source Analysis of Carbonaceous Aerosols in PM _{2.5} in Huaxi District, Guiyang | ·············WU Fu-liang, WU Jian-hui, DAI Qi-li, et al. (1328) |
| Pollution Characteristics, Source Apportionment, and Meteorological Response of Water-soluble Ions in PM _{2.5} in Xinxiang, North China Characterization of Metal Elements in Atmospheric PM _{2.5} and Health Risk Assessment in Heze in Winter from 2017 to 2018 | ······LIU Huan-jia, LI Lan-qing, LI Huan-li, et al. (1349) |
| Analysis of the Jumping Characteristics and Influencing Factors of Ozone Pollution in Beijing | ······PAN Jin-xiu, AN Xin-xin, LIU Bao-xian, et al. (1371) |
| Analysis of Photochemical Characteristics and Sensitivity of Atmospheric Ozone in Nanjing in Summer Ozone Pollution in Suzhou During Early Summertime: Formation Mechanism and Interannual Variation | |
| Distribution Characteristics, Ecological Risk Assessment, and Source Tracing of Heavy Metals in the Sediments of Typical Lakes in the | Middle Reaches of the Yangtze RiverLU Hong-bin, LU Shao-yong, LI Xiang, et al. (1402) |
| Spatiotemporal Distribution and Source Analysis of Heavy Metals in Surface Sediments in Lake Ulansuhai Based on PCA-APCS-MLR M | Iodel |
| Spatial and Temporal Distribution and Risk Assessment of Heavy Metals in Surface Water of Changshou Lake Reservoir, Chongqing Pollution Characteristics and Ecological Risk Assessment of Microplastics in the Yangtze River Basin | ······ZHANG Rui-xi, LIU Ya-jun, LUO Yong-nan, et al. (1428) |
| Assessment of Microplastic Pollution and Estimation of Annual Emission Volume in the Dongshan Canal of Yichang City | ·····DING Shuang, LI Wei-ming, ZHANG Xu-tong, et al. (1448) |
| Occurrence Characteristic and Risk Assessment of Microplastics in Sishui River (Xingyang Section) Contamination Characteristics and Ecological Risk Assessment of Pharmaceuticals and Personal Care Products in Drains Flowing into the | e Yellow River of Ningxia |
| Characteristics and Risk Assessment of Antibiotic Contamination in Oujiang River Basin in Southern Zhejiang Province | ······ZHONG Yi-xin, LI Li-xiang, WU Xin, et al. (1480) |
| Spatial-temporal Distribution and Source Analysis of Polycyclic Aromatic Hydrocarbons in the Sediments of Poyang Lake Change and Prediction of Water Purification Function in the South Bank of Hangzhou Bay in the Past 20 Years | |
| Effects of Land Use Types on Water Quality at Different Buffer Scales: Tianjin Section of the Haihe River Basin as an Example Hydrochemical Characteristics and Control Factors of Shallow Groundwater in Anqing Section of the Yangtze River Basin | |
| Dynamic Changes of Dissolved Organic Matter Derived from Algal Decomposition and the Environmental Effects in Eutrophic Lakes Degradation of Carbamazepine in Water by UV-activated Sulfite Process | ·····ZHANG Jin, CHEN Ming-ying, HAO Zhi-neng, et al. (1539) |
| Detection, Generation, and Control of Disinfection By-products of Reclaimed Water | ······LIAO Yu-feng, WANG Zheng, PAN Yang, et al. (1561) |
| Absorption of Ammonium by Three Substrates Materials in Constructed Wetland System Ecological Environment Assessment and Driving Mechanism Analysis of Nagqu and Amdo Sections of Qinghai-Xizang Highway Based of | on Improved Remote Sensing Ecological Index |
| Spatial-temporal Evolution and Driving Factors Analysis of Ecological Environment Quality in Daihai Basin based on AWRSEI | ·····ZHAO Jia-li, LI Xing, SUN Bing (1598) |
| Quantitative Assessment of the Impact of Climate Change on the Growing Season of Vegetation Gross Primary Productivity in the Middle | XU Yong, PAN Yu-chun, ZOU Bin, et al. (1615) |
| Effect of Vegetation Restoration on Soil Organic Carbon Storage in Coal Mining Areas Based on Meta-analysis Effects of Continuous Annual Crop Rotation and Fallow on Soil Aggregate Stability and Organic Carbon | ······LI Jian-ming, KANG Yu-xin, JIANG Fu-zhen, et al. (1629) ······LU Ze-rang, LI Yong-mei, YANG Chun-huai, et al. (1644) |
| Effects of Four Amendments on Fertility and Labile Organic Carbon Fractions of Acid Purple Soil Changes in Soil Nitrogen Components and Their Relationship with Environmental Factors with Different Tea Plantation Ages | ····DING Xin-ru, YAN Ning-zhen, WANG Zi-fang, et al. (1655) |
| Nutrients and Ecological Stoichiometry Characteristics of Typical Wetland Soils in the Lower Yellow River WA Effect of Film Mulching Age and Organic Fertilizer Application on the Distribution Characteristics of Microplastics in the Soil of a Peanu | NG Chuan-ying, WANG Kai-yue, WANG Hao-ran, et al. (1674) |
| Effects of Straw Returning and Biochar Addition on Greenhouse Gas Emissions from High Nitrate Nitrogen Soil After Flooding in Rice-v | ····SONG Ning-ning, LI Meng-jia, WANG Xue-xia, et al. (1684) |
| | |
| Tillage Depth Regulation and the Effect of Straw Return on Soil Respiration in Farmland Distribution Prediction of Soil Heavy Metals Based on Remote Sensing Temporal-Spatial-Spectral Features and Random Forest Model | ···WANG Ze-qiang, ZHANG Dong-you, XU Xi-bo, et al. (1713) |
| Characteristics and Identification Priority Source of Heavy Metals Pollution in Farmland Soils in the Yellow River Basin Characteristics of Cd Fluxe in Topsoil Around Typical Mining Area in Hezhou, Guangxi | ·······YANG Ye-yu, LI Cheng, YANG Zhong-fang, et al. (1739) |
| Potential Ecological Risk Assessment of Soil Heavy Metals in Fengdong New District Based on Information Diffution Model Traceability Analysis and Environmental Quality Assessment of Soil Heavy Metal Pollution in West Hunan Province | |
| Distribution Characteristics, Source Analysis and Ecological Risk Assessment of Heavy Metals in the Typical Industry Reclaimed Soil · Provincial-scale Soil As Migration and Transformation and Rice Safe Planting Zoning: A Case Study of Guizhou Province · · · · · · · · · · · · · · · · · · · | ··SHEN Cheng, WANG Wen-juan, SHA Chen-yan, et al. (1769) |
| Effect of Silica Fertilizer (Husk Ash) to Improve Soil Quality and Reduce Cd and As Accumulation in Rice Effect of EDDS Application on Soil Cu/Cd Availability and Uptake/transport by Castor | ······YI Xuan-tao, OUYANG Kun, GU Jiao-feng, et al. (1793) |
| Blocking Effects of Foliar Conditioners on Cadmium, Arsenic, and Lead Accumulation in Wheat Grain in Compound-contaminated Far | mland |
| Soil Microbial Community Structure and Functional Diversity Character of Abandoned Farmland in Minqin Oasis | ······LI Chang-le, ZHANG Fu, WANG Li-de, et al. (1821) |
| Microbial Mechanisms of Removal of Phthalic Acid Esters in Purple Soils Revealed Using Metagenomic Analysis Air Microbial Contamination and Risk of Respiratory Exposure of Workers in Chicken Farms | |
| Occurrence Characteristics of Microplastics in Multi-environmental Media and Bellamya aeruginosa of Manao River Biological Effect of Microplastics with Different Functional Groups on the Bacterial Communities and Metabolic Functions of Zebrafish (| ······GAO Ya-kun, LI Wei-ming, ZHANG Xu-tong, et al. (1849) |
| | ·······YAN Zhen-hua, ZHANG Yan, BAO Xu-hui, et al. (1859) |